


Změna č.	Text změny – odůvodnění	Datum	Podpis

Souřadný systém: JTSK
Výškový systém: B.p.v.

D

Vypracoval: ING.LUDĚK OBERHOFNER podpis:	Zodp. projektant: ING.LUDĚK OBERHOFNER podpis:	HIP: ING.JAN PROCHÁZKA podpis:	Techn. kontrola: ING.JAN PROCHÁZKA podpis:	Zhotovitel:  PONTIKA s.r.o. IČO 26342669 Sportovní 4 360 09 Karlovy Vary tel. 353 228 240 pontika@pontika.cz
Obec: LOKET		Kraj: KARLOVARSKÝ		
Investor: KARLOVARSKÝ KRAJ, Závodní 353/88, 36006 Karlovy Vary				
Objednatel: KARLOVARSKÝ KRAJ, Závodní 353/88, 36006 Karlovy Vary				
Zakázka: <div style="text-align: center; font-size: 1.2em; font-weight: bold;">LÁVKA PŘES ŘEKU OHŘI VE SVATOŠŠKÝCH SKALÁCH</div>				Č. zakázky: 2018–22
Název přílohy: <div style="text-align: center; font-size: 1.5em; font-weight: bold;">STATICKÝ VÝPOČET</div>				Datum: 7/2019
				Formát:
				Měřítko:
				Stupeň PD: PDPS
				Číslo přílohy: <div style="font-size: 1.5em; font-weight: bold;">D17</div>
				Souprava:

Obsah:

1. Technická zpráva statického výpočtu
2. Přehledné výkresy mostu
3. Údaje z IG průzkumu
4. Stanovení zatížení
5. Vstupní data výpočtových modelů
6. Přehled vnitřních sil – globální model
7. Posouzení ocelových prvků
8. Posouzení mikropilot
9. Posouzení horninových kotev
10. Posouzení dřevěných prvků mostovky

1. Identifikační údaje mostu

- 1.1. Stavba: Lávka přes řeku Ohři ve Svatošských skalách
1.2. Název mostu: Lávka přes řeku Ohři ve Svatošských skalách
1.3. Katastrální území: Hory u Jenišova (658383), Údolí u Lokte (686531)
Obec: Hory, Locket
1.4. Kraj: Karlovarský
1.5. Objednatel: Karlovarský kraj
IČO: 70891168, DIČ: CZ70891168
Závodní 353/88, 360 06 Karlovy Vary
1.6. Projektant: PONTIKA s.r.o., Sportovní 4, 360 09 Karlovy Vary
tel. 353 228 240, e-mail: pontika@pontika.cz
zodpovědný projektant: Ing.Luděk Oberhofner,
číslo autorizace 0300923
1.7. Pozemní komunikace: cyklostezka Ohře č.6
1.8. Přemost. překážka: řeka Ohře , ř.km 184,458
1.9. Úhel křížení: ~90°

2. Geotechnické podmínky

Pro účely PD byl proveden inženýrsko-geologický průzkum. Byly provedeny dva jádrové J1 a J2 do hloubky 7,5 resp. 7,0m. Oběma provedenými vrty J1 a J2 byly zastíženy do hloubky 2,0 – 2,1 m zemní násypy Y vytvořené z místních hlinitopísčitých holocenních náplavů řazených dle ČSN 73 6133 do tříd S3 S-F, S4 SM až G4 GM, makroskopicky téměř nerozlišitelných od náplavů v přirozeném uložení. Z těchto materiálů byl na levém břehu vybudován násep komunikace k bývalému mostu přes Ohři a na prvním břehu sloužily k vyrovnání terénu břehu. Hlouběji do 6,5 m ověřil vrt J1 polozaoblený štěrk, s valouny do průměru 10 cm. Štěrk je zahliněný, místy v drobných polohách řádově cm až hlinitý, od hloubky 3,7 m zvodnělý, řazený do třídy G3 G-F. Vrt J2 zastihl pod násypy jemnozrnné hlinitopísčité holocenní náplavy o mocnosti 2,3 m, které jako celek je řadíme do třídy S4 SM. Ojedinele je však možno rozeznat náznak zvrstvení tvořený centimetrovými vrstvičkami slabě zahliněného písku nebo drobnozrnného štěrku. V hloubkovém intervalu 4,4 až 5,9 m ověřil vrt zvodnělý hlinitý štěrk G4 GM se zaoblenými valouny až do průměru vrtu.

Oba vrty byly ukončeny v eluvii drobnozrnné muskoviticko-biotitické kaolinizované žuly. Původní struktura horniny byla prakticky setřena zvětráním a mechanickým porušením vrtnou technikou.

Podzemní voda byla provedenými vrty J1 a J2 naražena 3,3 a 2,7 m pod úroveň terénu v prostředí fluvialních náplavů. Po 5 hod. se ustálila 3,7 (J1) a 3,5 (J2) m p. t., čili v úrovni 376,9 a 377,1 m n. m. Podzemní a povrchová voda zde jsou v úzké hydraulické spojitosti, hladina podzemní vody proto dynamicky reaguje na stav povrchové vody Ohře. To je zřejmé z naměřených hodnot, kdy hladina v obou vrtech zhruba odpovídá hladině ve vodoteči. Hladina mělké freatické zvodně je volná a v podstatě kopíruje terén, čili se mírně svažuje ke korytu řeky, do něhož se kolektor odvodňuje. V případě vyšších stavů povrchové vody bude kolektor naopak napájen vodou z Ohře a hladina tak bude dosahovat

do vyšší úrovně.

Podle terénního měření kvalitativních parametrů podzemní vody je možno konstatovat, že voda je v obou vrtech studená (8 až 9°C), slabě mineralizovaná (konduktivita 25 až 27 mS/m), s nízkým obsahem volného CO₂ (0 dílků Haertlova testu, tj. pod 116 mg/l). Do mělkého kolektoru se zde neodvodňují proplyněné termominerální vody, které jsou v oblasti předmětem zvýšené ochrany.

Dle laboratorního rozboru vody z vrtu T2 situovaného ve stejném geologickém prostředí zhruba 1300 m severně je možno předpokládat, že podzemní voda je velmi mírně kyslá (pH 6,3), se zvýšenou koncentrací agresivního CO₂ (77,1 mg/l). Podle ČSN EN 206-1 odpovídá voda stupni agresivity na beton XA2. Vzhledem k periodické dotaci kolektoru povrchovou vodou Ohře se bude chemismus podzemní vody v průběhu roku měnit.

Výsledky průzkumu včetně geotechnických charakteristik zemin jsou shrnuty v závěrečné zprávě geologického úkolu [18].

3. Popis konstrukce mostu

3.1 Založení a spodní stavba

Založení opěr je hlubinné na mikropilotách průměru 108x16 délky cca 8,5-9,0m. Piloty budou prováděny ze dna stavebních jam. Kotevní bloky zpětných lan budou přikotveny proti účinkům vodorovných sil trvalými zemními pramencovými kotvami.

Opěry 10 a 20 jsou masivní železobetonové s krátkými rovnoběžnými křídly. Ocelové pylony jsou vetknuty do opěr. Tvoří je svařovaný ocelový polorám složený ze dvou svislých stojek kruhového průřezu a vodorovné příče.

Železobetonové kotevní bloky zpětných lan jsou tvořeny na každém břehu společným základem a dvěma dílky, které vyčnívají částečně nad terén.

Na pravém břehu navazují na opěru 20 oboustranně krátké opěrné zdi nutné z prostorových důvodů (přístřešek restaurace vlevo, přístup do řeky vpravo).

3.2 Nosná lana, závěsy

Nosná lana jsou zavěšena ve dvou svislých rovinách. V každé rovině se lano skládá ze tří samostatných lanových úseků. Krajní zpětná lana jsou zakotvena do kotevních bloků a pylonů, střední lana jsou pnutá mezi pylony. Předpokládá se použití uzavřených vinutých lan se třemi vrstvami uzavřených drátů podle ČSN EN 12385-10 s antikorozií úpravou. Lana mezi pylony jsou na obou koncích opatřena zalitými vidlicovými koncovkami, připojení na kotevní body je přes styčnickový plech a čep. Zpětná lana jsou na konci u kotevního bloku opatřena koncovkou umožňující předeprnutí lana.

Táhlo závěsu je z kruhové oceli Ø20mm (staticky by postačovalo 16 mm, to ale nemá dostatečnou robustnost proti vandalům) a je doplněno spojkou pro možnost větší rektifikace. Oba konce táhla jsou opatřeny vidlicovou koncovkou s kontramatkou. Závěs musí umožňovat rektifikaci (min. cca ±44mm).

Nosná konstrukce je stabilizována ve svislé rovině předpjatými lany jmenovitého průměru 40mm. Lana jsou vedena ve svislých rovinách, sledují niveletu lávky, v půdorysu jsou přímá. Na příčnicích jsou lana uchycena do lanových svorek, zakotvena jsou na čelech opěr.

3.3 Nosná konstrukce

Niveleta lávky má obloukový tvar s poloměrem zakružovacího oblouku R=242m a sklonem tečen 8,3% (1:12).

Nosná konstrukce lávky je ocelová z válcovaných profilů. Je tvořena podélníky, příčníky a vodorovným zavětrováním. Konstrukce je podélně dělena na montážní díly délky 5,0m. Montážní styk je navržen jako třecí šroubovaný spoj s příložkami. Jednotlivé montážní díly jsou dále příčně dělené (montážní styky příčníku) z důvodu jednodušší přepravy na staveniště.

Konstrukce je zavěšena na konzolách příčníků. Na opěrách je nosná konstrukce uložena na ocelová čepová ložiska.

3.4 Mostovka

Mostovka je dřevěná. Podélníky z hranolů (modřín, třída C24 ČSN EN 338) jsou uloženy, kotveny a stykovány na příčníku. Pochozí vrstva je z příčně uložených dubových fošen tl. 60mm (třída D35 ČSN EN 338) ukládaných s mezerou 10-20 mm a připevněných do podélníků.

4. Statický výpočet

4.1 Zatížení

Pro statické posouzení bylo uvažováno zatížení podle norem [8], [9], [10] a [11] v hodnotách:

Zatížení dopravou:

- pro lokální účinky ($L \leq 10\text{m}$)- model zatížení 4 : $q_{fk}=5\text{kN/m}^2$
- po globální účinky (celá lávka, pole) : $q_{fk}=3,5\text{ kN/m}^2$
($q_{fk}=2+120/(L+30)$, čl. 5.3.2.1 normy [9])
- zatížení servisním vozidlem do 3,5 t , v tomto případě vozidlem ZZS. Charakteristiky stanoveny dle TP vozidla [17]

Zatížení větrem – uvažuji statické zatížení větrem ve směru kolmo na osu lávky.

Zatížení teplotními vlivy – uvažuji konstantní změnu teploty podle [11].

4.2 Materiály do výpočtového modelu

Nosné lana – uzavřená spirálová ocelová lana, $E=160\pm 10\text{ GPa}$

Závěsy – kruhová ocel S460N, $E=210\text{ GPa}$

Pylon, mostovka: konstrukční ocel (S235,S355), $E=210\text{ GPa}$

Dřevěné podélníky – hraněné řezivo (modřín), třída C24 podle EN 338

Fošny mostovky – hraněné řezivo (dub), třída D30 podle EN 338

4.3 Globální výpočetní model

Globální výpočetní model slouží pro určení sil v lanech, závěsech, pylonech a mostovce a pro určení reakcí . Výpočet je proveden metodou konečných prvků v programu Nexis, model je prostorový prutový. Při výpočtu je uvažována geometrická nelinearita (II.řád - velké deformace).

4.4 Posouzení mikropilot

Pro určení zatížení mikropilot byl sestaven stěnodeskový model opěry s pružně podepřenými prutovými prvky (pilotami). Model byl zatížen reakcemi vrchní stavby.

4.5 Posouzení dřevěných prvků

Dřevěné prvky byly posouzeny na model zatížení 4 ČSN EN 1991-2 (5kN/m²) a zatížení servisním vozidlem.

4.6 Posouzení ocelových prvků

Při posuzování stability ohýbaných prvků (klopení) byl pro určení kritického momentu použit program LT Beam [2].

5. Výpočetní pomůcky

- [1] Programový systém NEXIS 3.100.15, SCIA CZ, s.r.o., licenční smlouva č. LS91/2003
- [2] Program LT Beam (CTICM, Francie)
- [3] Tabulkový kalkulátor Excel

6. Soupis použité literatury, norem

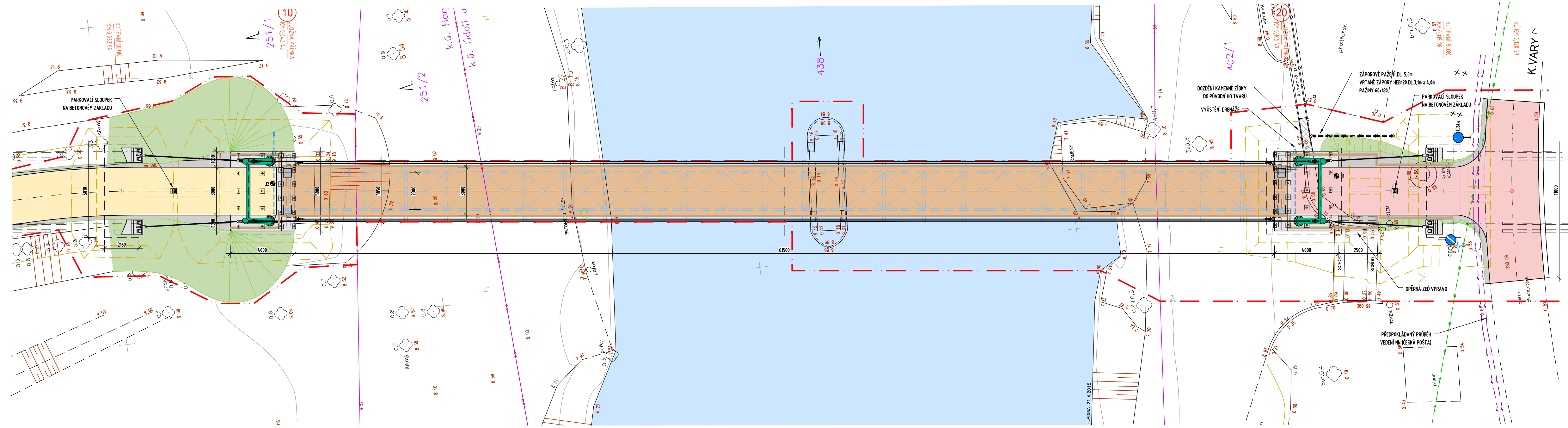
- [4] ČSN EN 12385-10 Ocelová drátěná lana, část 10 : Spirálová lana pro všeobecné konstr. účely
- [5] ČSN EN 1993-1-1 Navrhování ocelových konstrukcí, Obecná pravidla a pravidla pro pozem. stavby
- [6] ČSN EN 1993-1-11 Navrhování ocelových konstrukcí- navrhování ocelových tažených prvků
- [7] ČSN EN 1995-1 Navrhování dřevěných konstrukcí
- [8] ČSN EN 1991-1-1 Obecná zatížení
- [9] ČSN EN 1991-2 Zatížení mostů silniční dopravou
- [10] ČSN EN 1991-1-4 Zatížení větrem
- [11] ČSN EN 1991-1-5 Zatížení teplotou
- [12] ČSN EN 338 – Konstrukční dřevo, třídy pevnosti
- [13] Navrhování dřevěných konstrukcí, příručka k ČSN EN 1995-1
(ČKAIT, Kuklík, Kuklíková, 2010)
- [14] Navrhování ocelových konstrukcí, příručka k ČSN EN 1993-1-1 a ČSN EN 1993-1-8
(ČKAIT, kolektiv autorů, 2009)
- [15] Navrhování základových a pažicích konstrukcí, příručka k ČSN EN 1997
(ČKAIT, Jan Masopust, 2012)
- [16] Navrhování spřažených ocelobetonových konstrukcí, příručka k ČSN EN 1994-1-1
(ČKAIT, Jiří Studnička, 2009)

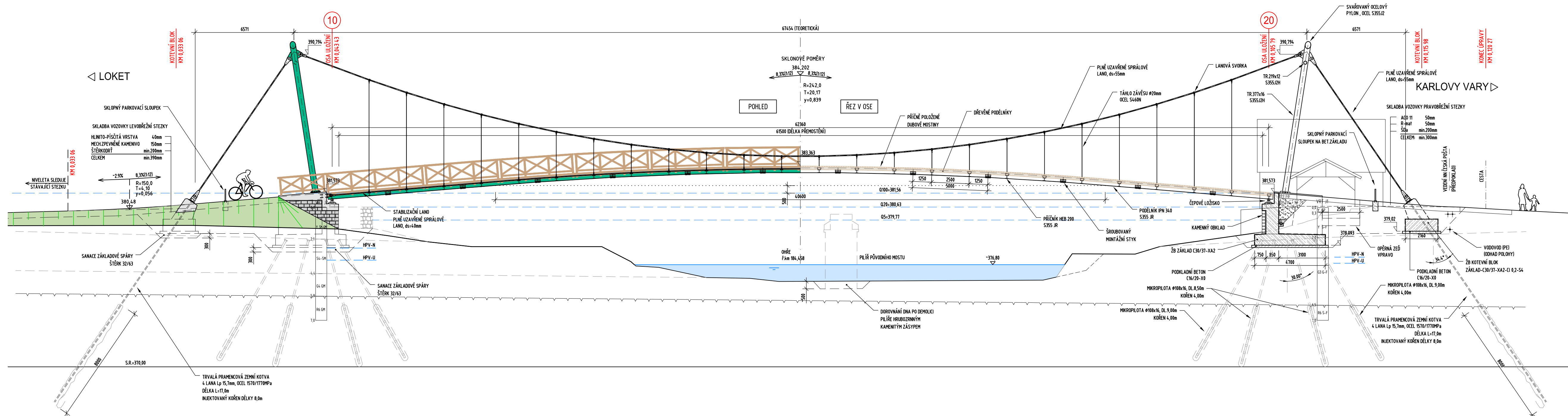
7. Podklady

- [17] Technické průkazy vozidel ZZS Karlovarského kraje
- [18] Závěrečná zpráva geologického úkolu „Osada Pionýrské-lávka přes Ohři, 18100
(Mgr.Martin Šteřík, 2018)

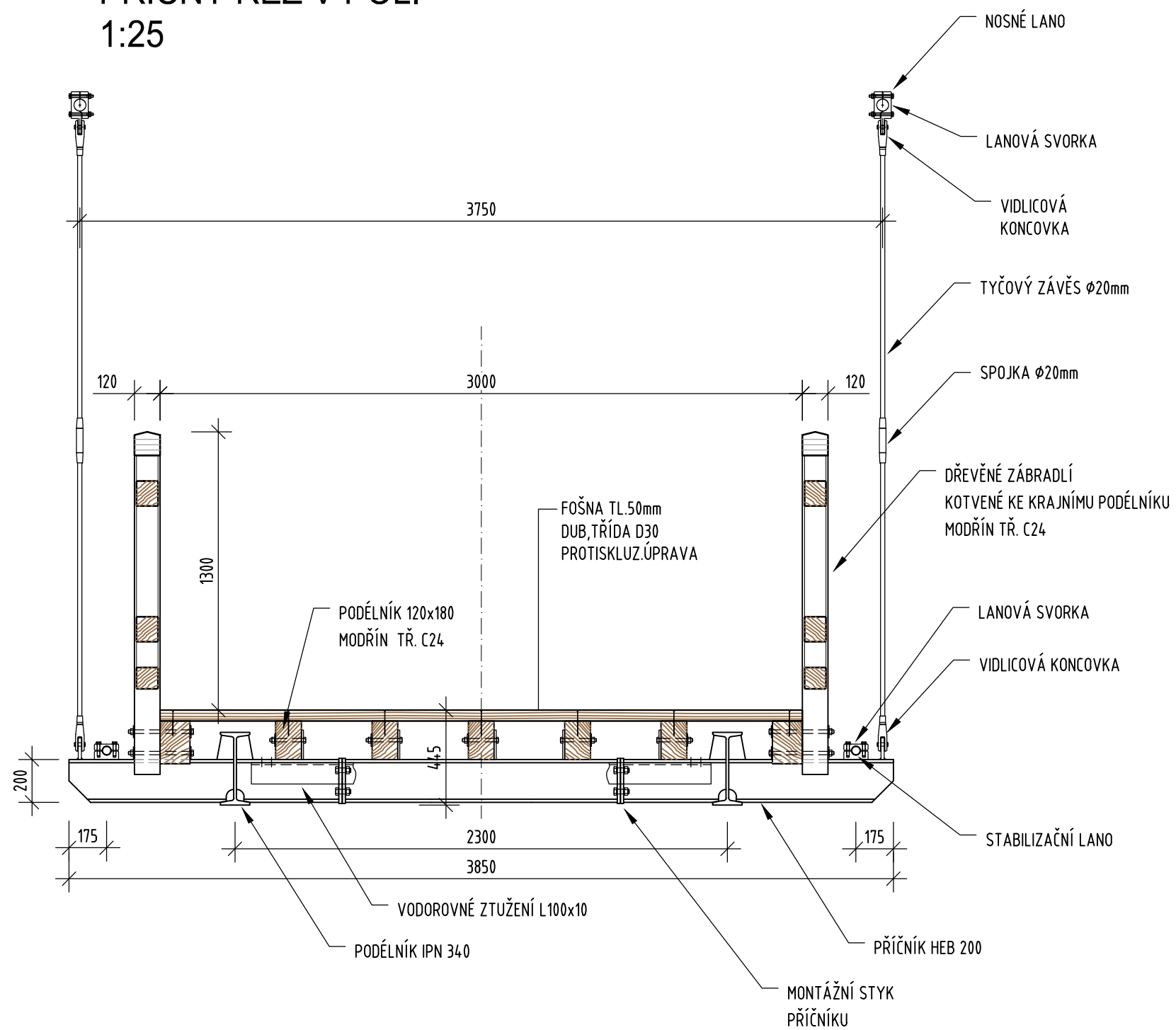
Karlovy Vary, 10/2018

Ing. Luděk Oberhofner





PŘÍČNÝ ŘEZ V POLI 1:25



Akce:

Lávka přes řeku Ohři ve Svatošských skalách

Statický výpočet

DUSP, 10/2018

PONTIKA s.r.o.
IČO 26342669
Sportovní 4
360 09 Karlovy Vary
tel. 353 228 240
pontika@pontika.cz

Strana:

3/1

Číslo zakázky:

2018-22

Údaje z 16 průzkumů

předmětem zvýšené ochrany. Prosté podzemní vody vytvářejí drobné zvodně s volnou hladinou na bázi zvětralin a v zóně přípovrchového rozvolnění puklin.

Průlinově-puklinová a hlouběji jen puklinová propustnost je v oblasti charakterizována spíše nízkým koeficientem transmisivity (dle hydrogeologické mapy z r. 1997 je T v rozmezí $3,8 \times 10^{-6}$ - $1,1 \times 10^{-4}$ m²/s) a nízkou specifickou vydatností zdrojů (cca 0,01 až 0,1 l/s/m).

Z hlediska odtoku podzemních vod leží lokalita v území se středním dlouhodobým specifickým odtokem podzemní vody stupně IV, který činí cca 2–3 l/s/km².

2 PROVEDENÉ PRÁCE

Práce probíhaly podle schváleného projektu a v souladu s podmínkami závazného stanoviska ČIL. Místa vrtů byla v terénu vytyčena za přítomnosti objednavatele.

Technické práce provedla dne 27.3.2019 firma Kadleček. Hloubeno bylo soupravou UGB 50M, technologií rotačně jádrového vrtání o průměru 156 mm bez použití výplachu. Oba vrty byly hloubeny do navrtání krystalinického podloží. Vrt J1 byl proveden do hloubky 7,5 m, vrt J2 pak do hloubky 7,0 m. Projektované hloubky 15 m tak nebyly dosaženy.

Práce probíhaly za přítomnosti odpovědného inženýrského geologa a hydrogeologa. Po ukončení terénních prací byla průzkumná díla likvidována prostým záhozem.

Získané vrtné jádro bylo makroskopicky posouzeno, zdokumentováno a zaříděno dle ČSN 73 6133. Primární dokumentace byla pomocí účelového software upravena do grafické podoby a je uvedena v příloze 3. Byla též pořízena fotodokumentace vrtného jádra (příloha 4). Odběr vzorků zemin nebyl požadován.

Ve všech průzkumných dílech bylo sledováno chování podzemní vody, výsledky jsou komentovány v kapitole 3.3. Průběžně byla měřena konduktivita, teplota podzemní vody a Haertlovým testem zjišťován obsah volného oxidu uhličitýho. Ustálená hladina byla měřena hladinoměrem se zvukovou a světelnou signalizací cca 5 hodin po odvrtání. Vzorek vody na laboratorní stanovení agresivity na betonové konstrukce se nepodařilo odebrat, neboť vrtné stvolý se v úrovni ustálené hladiny zavalily.

Vrty byly situačně zaměřeny pomocí GPS a vyneseny do dodané situace, odkud byly pak odečteny nadmořské výšky.

Na základě geologických profilů vrtů byl zkonstruován schematický geologický řez reprezentující geologickou stavbu na lokalitě (příloha 2).

3 VÝSLEDKY PROVEDENÝCH PRACÍ

3.1 Inženýrskogeologické poměry staveniště

Oběma provedenými vrty J1 a J2 byly zastíženy do hloubky 2,0 – 2,1 m zemní násypy Y vytvořené z místních hlinitopísčitých holocénních náplavů řazených dle ČSN 73 6133 do tříd S3 S-F, S4 SM až G4 GM, makroskopicky téměř nerozlišitelných od náplavů v přirozeném uložení. Z těchto materiálů byl na levém břehu vybudován násep komunikace k bývalému mostu přes Ohři a na prvním břehu sloužily k vyrovnaní terénu břehu.

Hlouběji do 6,5 m ověřil vrt J1 polozaoblený štěrk, s valouny do průměru 10 cm. Štěrk je zahliněný, místy v drobných polohách řádově cm až hlinitý, od hloubky 3,7 m zvodnělý, řazený do třídy G3 G-F.

Vrt J2 zastihl pod násypy jemnozrnné hlinitopísčité holocénní náplavy o mocnosti 2,3 m, které jako celek je řadíme do třídy S4 SM. Ojedinele je však možno rozeznat náznak zvrstvení tvořený centimetrovými vrstvičkami slabě zahliněného písku nebo drobnozrnného štěrku. V hloubkovém intervalu 4,4 až 5,9 m ověřil vrt zvodnělý hlinitý štěrk G4 GM se zaoblenými valouny až do průměru vrtu.

Oba vrty byly ukončeny v eluvii drobnozrnné muskoviticko-biotitické kaolinizované žuly. Původní struktura horniny byla prakticky setřena zvětráním a mechanickým porušením vrtnou technikou.

3.2 Geotechnické vlastnosti zastižených zemin

V následujících odstavcích uvádíme charakteristiky jednotlivých kvazihomogenních prostředí ověřených v rámci provedeného průzkumu na základě makroskopické dokumentace a prostorového uspořádání. Z materiálů zastižených provedenými vrty byly vyčleněny čtyři polohy s následujícími vlastnostmi:

Navážky (Y) – jsou tvořeny převážně hlinitým pískem charakteru třídy S4 SM s lokálními polohami štěrku či štěrkové příměsi. Jsou převážně slabě propustné, namrzavé. Únosnost těchto materiálů je poměrně nízká. Vzhledem k obsahu jemných šupinek slídy a možnému obsahu organického detritu je nutno očekávat jejich zvýšenou stlačitelnost a problematickou zhutnitelnost. Těžitelnost spadá dle ČSN 73 3050 do tříd 2 až 3, dle ČSN 73 6133 do třídy I - zvládnutelné běžnými mechanismy. K plošnému zakládání i do násypů a podloží komunikací jsou bez zvláštních opatření nevhodné.

Holocénní náplavy S4 SM - jsou tvořeny převážně hlinitým jemnozrnným pískem, lokálně s drobnými polohami drobného štěrku nebo slabě zahliněného písku. Je nutno počítat s přítomností drobných šupinek slídy a organického detritu. Propustnost hlinitých písků je slabá, v místech drobných průběžných štěrkových vrstviček však bude výrazně vyšší. Jde o materiály namrzavé, značně stlačitelné a obtížně zhutnitelné. Jako základová půda pro plošné zakládání, podloží komunikací a do násypů jsou bez technických opatření málo vhodné až nevhodné. Těžitelnost spadá dle ČSN 73 3050 do třídy 2 až 3, dle ČSN 73 6133 do třídy I - zvládnutelné běžnými mechanismy.

Kvartérní štěrkovité zeminy (G3 G-F, G4 GM) – jsou do násypů a přímého podloží komunikací vhodné až podmíněčně vhodné. Podmínky použitelnosti závisí na pevnosti a tvaru klastického podílu, plasticitě a konzistenci mezerní hmoty. Jsou středně propustné a mírně namrzavé až namrzavé. Jejich únosnost je poměrně dobrá, závislá na ulehlosti a konzistenci mezerní hmoty. Těžitelnost spadá dle ČSN 73 3050 do tříd 2-3, dle ČSN 73 6133 do třídy I - zvládnutelné běžnými mechanismy.

Rozložené žuly (R6 – S-F, GM) – jde o zcela rozložené (kaolinizované) žuly nabývající charakteru hlinitých písků až hlinitých drobnozrnných štěrků. Nelze vyloučit přetrvání puklinové propustnosti. Jejich geomechanické vlastnosti jsou obdobné jako vlastnosti jejich kvartérních ekvivalentů či mírně příznivější. Těžitelnost spadá dle ČSN 73 3050 do třídy 3, dle ČSN 73 6133 do třídy I - zvládnutelné běžnými mechanismy.

V následující tabulce uvádíme orientační hodnoty geotechnických charakteristik dokumentovaných materiálů. Jsou stanoveny pro výše charakterizovaná kvazihomogenní

prostředí, která graficky interpretujeme formou řezů v příloze 2. Charakteristiky byly stanoveny jako odvozené na základě indexových vlastností na základě makroskopického popisu. Vycházejí především ze směrných normových charakteristik zrušené ČSN 73 1001.

Tabulka 4. Orientační geotechnické charakteristiky zastižených základových půd

Základová půda dle ČSN 73 1001	ν	β	γ [kN.m ⁻³]	E_{def} [MPa]	c_{ef} [kPa]	φ_{ef} [°]	m	R_d [kPa]
Navážky Y (SM)	-	-	-	-	-	-	-	100-150
Holocénní náplavy S4	0,35	0,62	18,0	5	0-10	28-30	-	100-175
Kvartérní šterkovité zeminy G3, G4	0,30	0,74	19,0-19,5	60-80	0-8	30-35	0,3	250
Rozložené žuly (R6) S-F, GM	0,35-0,40	-	18,1-18,5	12-15	-	-	0,4	175-250

Vysvětlivky:

ν	Poissonovo číslo	m	opravný součinitel přitížení
γ	objemová tíha	c_{ef}	soudržnost efektivní
β	převodní součinitel	φ_{ef}	úhel vnitřního tření efektivní
E_{def}	modul přetvárnosti	R_d	orientační výpočtová únosnost
R_d	orientační výpočtová únosnost (pro šíři základu 0,5 m a hloubku 1,0 m u nesoudržných zemin)		

3.3 Podzemní voda

Podzemní voda byla provedenými vrty J1 a J2 naražena 3,3 a 2,7 m pod úroveň terénu v prostředí fluviálních náplavů. Po 5 hod. se ustálila 3,7 (J1) a 3,5 (J2) m p. t., čili v úrovni 376,9 a 377,1 m n. m. Podzemní a povrchová voda zde jsou v úzké hydraulické spojitosti, hladina podzemní vody proto dynamicky reaguje na stav povrchové vody Ohře. To je zřejmé z naměřených hodnot, kdy hladina v obou vrtech zhruba odpovídá hladině ve vodoteči. Hladina mělké freatické zvodně je volná a v podstatě kopíruje terén, čili se mírně svažuje ke korytu řeky, do něhož se kolektor odvodňuje. V případě vyšších stavů povrchové vody bude kolektor naopak napájen vodou z Ohře a hladina tak bude dosahovat do vyšší úrovně.

Podle terénního měření kvalitativních parametrů podzemní vody je možno konstatovat, že voda je v obou vrtech studená (8 až 9°C), slabě mineralizovaná (konduktivita 25 až 27 mS/m), s nízkým obsahem volného CO₂ (0 dílků Haertlova testu, tj. pod 116 mg/l). Do mělkého kolektoru se zde neodvodňují proplyněné termominerální vody, které jsou v oblasti předmětem zvýšené ochrany.

Dle laboratorního rozboru vody z vrtu T2 situovaného ve stejném geologickém prostředí zhruba 1 300 m severně je možno předpokládat, že podzemní voda je velmi mírně kyselá (pH 6,3), se zvýšenou koncentrací agresivního CO₂ (77,1 mg/l). Podle ČSN EN 206-1 odpovídá voda stupni agresivity na beton XA2. Vzhledem k periodické dotaci kolektoru povrchovou vodou Ohře se bude chemismus podzemní vody v průběhu roku měnit.

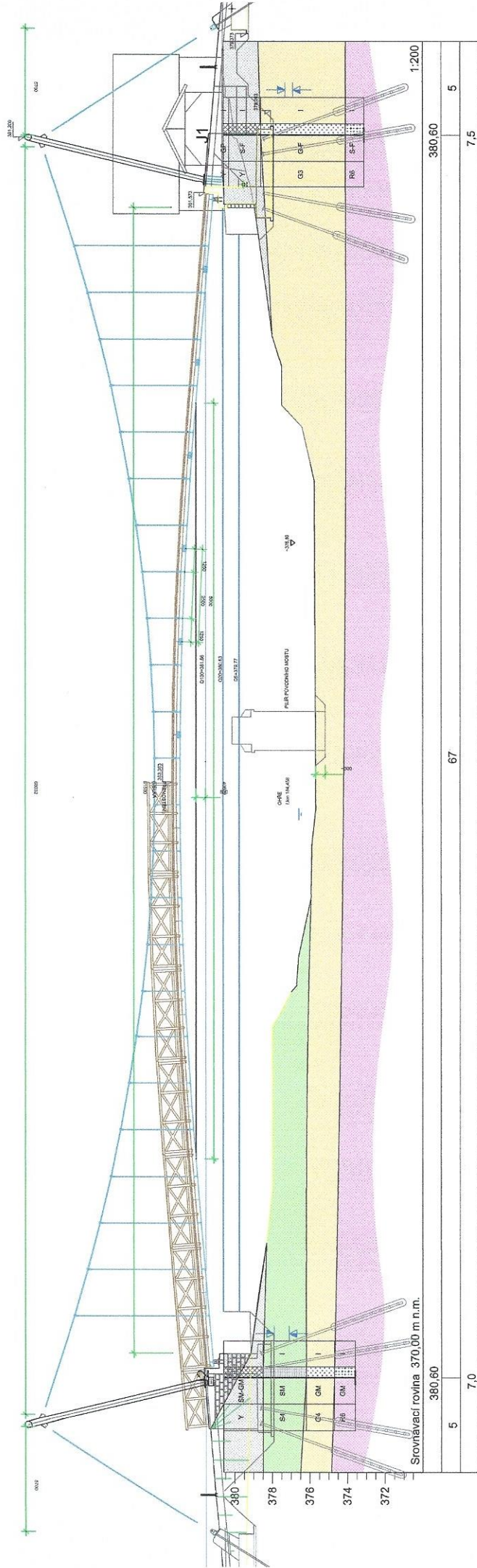
4 ZÁVĚR

Provedenými průzkumnými pracemi, jejichž počet, rozmístění i hloubka respektovala zadání objednavatele, byla ověřena mocnost a kvalita kvartérních pokryvů na plánovaném staveništi a charakter krystalinického podloží. Zároveň byly získány základní údaje o hydrogeologických poměrech lokality.

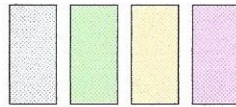
Základové poměry na staveništi je nutno vlivem přítomnosti značné mocnosti násypových zemin označit za složité. Způsob založení nebyl v době provádění průzkumných prací známý. Plánovaný objekt je nutno označit jako náročnou konstrukci.

1 S

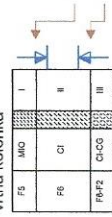
1' J



Vysvětlivky:




vrtná kolonka







hladina podzemní vody naražená
hladina podzemní vody ustálená
těžitelnost ČSN 73 6133
petrografie
symbol ČSN 73 6133
třída ČSN 73 6133


	Úkol:	Osada Plonýrské - lávka přes Ohří		18 100
	Název:	Schematický geologický řez		
	Zpracovali:	Věra Matějková Mgr. Martin Střítek		
	Měřič:	výšky: 1 : 200 délky: 1 : 200	Datum: 29. 3. 2019	Příloha: 2



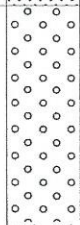
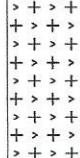
3/5

 Karlovy Vary	Úkol: Osada Pionýrské - lávká přes Ohři	Geologický profil	Příloha č.: 3/1
		J1	Měřítko: 1 : 50
Číslo úkolu: 18 100	Kat. území: Údolí u Lokte	Okres: Karlovy Vary	
Y: 855 178,70	X: 1 014 296,60	Z: 380,60	
Druh díla: vrt strojní	Způsob hloubení: jádrový	Souprava: UGB 50M	
Datum započetí: 27.03.2019	Počáteční průměr: 156 mm	Hladina naražená: 3,30 m / 377,30 m n.m.	
Datum ukončení: 27.03.2019	Konečný průměr: 156 mm	Hladina ustálená: 3,70 m / 376,90 m n.m.	
Odpov. geolog: V. Matějková	Dokumentoval: V. Matějková	Vrtná firma: Kadleček	

Hloubka v m	Mocnost v m	Přijatý profil	Petrografický popis	Stratigrafie	Vzorkování	ČSN 73 61 33	ČSN 73 61 33 třída	ČSN 73 61 33 symbol
0,30	0,30		003 Násyp - štěrk žlutošedý tříděný			I	Y	GP
2,00	1,70		003 Písek rezavošedý, zahliněný, slídnatý, s příměsí křemenného polozaobleného štěrku do prům. 8 cm (pravděpodobně dobře ulehý násyp místního materiálu), poloha o mocnosti 0,30 m těsně nad bází má světlejší odstín a může se jednat o původní náplav			I	Y	S-F
6,50	4,50		032 Štěrk světle hnědý, zahliněný, lokálně silně zahliněný, s valouny do 10 cm	Kvartér		I	G3	G-F
7,50	1,00		050 Žula šedá, místy slabě narezlá, drobnozrnná, slabě kaolinizovaná, zcela zvětralá (eluvium?), v úseku 7,0 - 7,5 m ztráta jádra- rozvrtáno	Krystalinikum		I	R6	S-F

Vrt ukončen v hloubce 7,5 m.

 Karlovy Vary	Úkol: Osada Pionýrské - lávka přes Ohři	Geologický profil		Příloha č.: 3/2
		J2		Měřítko: 1 : 50
Číslo úkolu: 18 100	Kat. území: Hory u Jenišova	Okres: Karlovy Vary		
Y: 855 171,10	X: 1 014 230,30	Z: 380,60		
Druh díla: vrt strojní	Způsob hloubení: jádrový	Souprava: UGB 50M		
Datum započeti: 27.03.2019	Počáteční průměr: 156 mm	Hladina naražená: 2,70 m / 377,90 m n.m.		
Datum ukončení: 27.03.2019	Konečný průměr: 156 mm	Hladina ustálená: 3,50 m / 377,10 m n.m.		
Odpov. geolog: V. Matějková	Dokumentoval: V. Matějková	Vrtná firma: Kadleček		

Hloubka v m	Mocnost v m	Přijatý profil	Petrografický popis		Stratigrafie	Vzorkování	ČSN 73 61 33	ČSN 73 61 33	ČSN 73 61 33
									symbol
2,10	2,10		003	Násyp - písek hnědý, hlinitý, až drobnozrný štěrku do prům. 2 cm	Kvartér		I	Y	SM-GM
4,40	2,30		023	Náplav charakteru velmi jemnozrného hlinitého slídnatého písku rezavohnědý, při bazi šedý, lokálně s příměsí drobného štěrku, místy s drobnými polohami drobnozrného písku a patrného zvrstvení			I	S4	SM
5,90	1,50		032	Štěrku hlinitý šedý, s valouny až do průměru vrtu			I	G4	GM
7,00	1,10		050	Žula šedá, drobnozrná, slabě kaolinizovaná, zcela rozložená, charakteru hlinitého drobnozrného štěrku, zrna křemene do 1 cm (eluvium?)		Krystalinikum	I	R6	GM

Vrt ukončen v hloubce 7 m.



Stavové zatížení lavy
Stálá zatížení - vlastní váha

č.	popis	$g_k [kN/m]$	$g_{k,exp}$	$g_d [kN/m]$
1	podílky IPE 360	$0,571 \cdot 2 = 1,14$	1,35	1,54
2	příčnice HEB 200 ($61,3 \text{ kg/m}$), $a = 2,5 \text{ m}$ $L = 3,85 \text{ m}$	$\frac{0,613 \cdot 3,85}{2,5} = 0,944$	1,35	1,274
3	vodorovné ztužení $L 80 \times 8$ ($9,63 \text{ kg/m}$)	$\frac{0,0963 \cdot 2,39 \cdot 2}{2,5} = 0,26$	1,35	0,35
4	stýč. plech, spojovat. (odhad 5 kg/m)	0,05	1,35	0,068
5	záves $\phi 20$, vidl. konc. (2x), stF. délka $L = 2,84$ koncovka: $\sim 1,0 \text{ kg}$ klema: $\sim 2,0 \text{ kg}$	$\frac{284 \cdot 2,47 \cdot 2 + 4,1 + 2,2}{2,5} = 8,8 \text{ kg/m}$ $= 0,088 \text{ kN}$	1,35	0,119



č. popis	$g_k [kN/m]$	$g_{k,exp}$	$g_d [kN/m]$
6 lavo jm. průměr 45 mm, A = 1340 mm ²	$2.0112 = 0,224$	1,35	0,302
celkem v. váha	<u>$2,77 kN/m$</u>		<u>$3,65 kN/m$</u>



ostatní stálé zatížení

č. popis	G_k	$H_{G, sup}$	G_d
7 mostek - tisy dub H. 50mm $L = 3,0m$ $\rho = 640 kg/m^3$	$3,0 \cdot 0,05 \cdot 6,4 = 0,96$	1,35	1,30
8 mostek - mitřín podéluf 120×180 , $\rho = 420 kg/m^3$	$5,0 \cdot 12,0 \cdot 18,42 = 0,45$	1,35	0,67
8 mostek - krajní podéluf 140×200 , $\rho = 420 kg/m^3$	$2,0 \cdot 14,0 \cdot 2,42 = 0,24$	1,35	0,32
9 kotvení podéluf plochy stouby	$\frac{0,150}{2,5} = 0,06$	1,35	0,08
10 zábradlí (obě strany)			
sloupek: $\frac{149,0 \cdot 12,0 \cdot 12,42 \cdot 2,8}{5} = 0,144$			
h. madlo: $0,11 \cdot 0,12 \cdot 4,2 \cdot 2 = 0,117$		1,35	0,76
madlo dole: $0,1 \cdot 0,1 \cdot 4,2 \cdot 2 = 0,084$			
křídla: $\frac{0,1 \cdot 0,1 \cdot 4,2 \cdot 1,71 \cdot 4}{1,465} = 0,12$			
stouby, spř. mat.			0,02



Celkem ostatní stěle:

$$g_k = 2,27 \text{ kN/m}$$

$$g_d = 3,06 \text{ kN/m}$$

Procentní zatížení

pro posouzení (průběžné) profilu nosníku
 lze uvažují pouze rovnoměrné zatížení

q_{fk}

Podle čl. 5.3.2.1, odst. (2) ČSN EN 1991-2:

$$q_{fk} = 2 + 120 / (L + 30) \text{ kN/m}^2$$

$$2,5 \text{ kN/m}^2 \leq q_{fk} \leq 5,0 \text{ kN/m}^2$$

kde L - zatěžovací délka

$$L = 63,10 \text{ m}$$

$$q_{fk} = 2 + \frac{120}{63,1 + 30} = 3,3 \text{ kN/m}^2$$

Uvažují $q_{fk} = 2,5 \text{ kN/m}^2$

$$\gamma_g = 1,35$$

$$q_k = q_{fk} \cdot \gamma_g = 2,5 \cdot 1,35 = \underline{10,5 \text{ kN/m}}$$



Základní kombinace pro určení příčinné lavy:

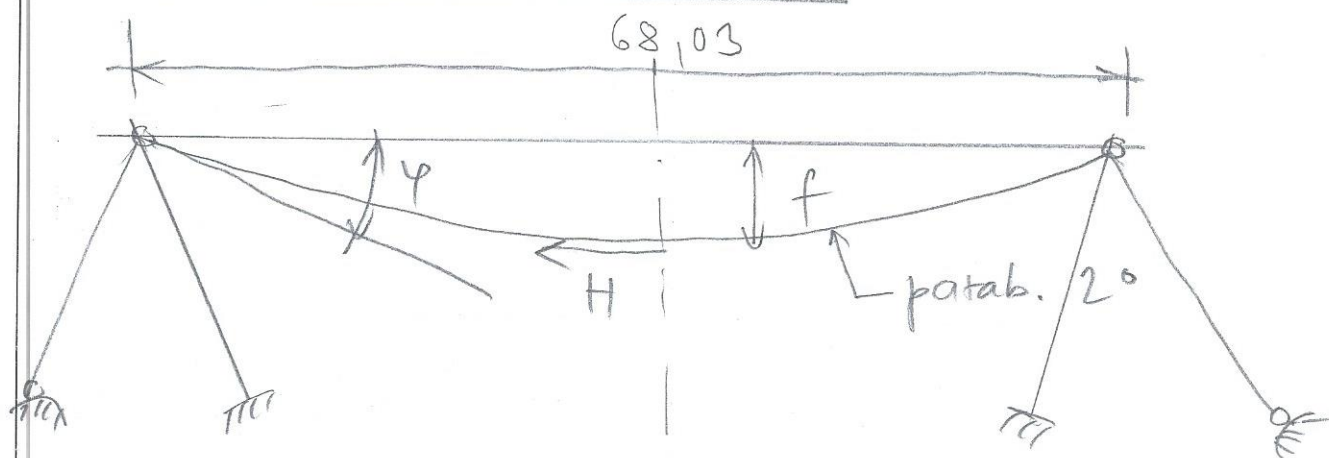
$$p_d = \gamma \cdot G_{k,sup} + G_{k,sup} + \gamma_Q \cdot Q_{k,1}$$

$$\begin{aligned} p_d &= 0,85 \cdot 1,35 (2,71 + 2,27) + 1,35 \cdot 10,5 = \\ &= 5,71 + 14,18 = 19,9 \text{ kN/m} \approx \underline{\underline{20 \text{ kN/m}}} \end{aligned}$$

(pro 2 lavy v příčném řezu)



Schema zavěšeného lana



$$f = 5,945 \text{ m}$$

$$\varphi = 17,7^\circ$$

$$\max H = \frac{p_d \cdot L^2}{8 \cdot f} = \frac{20 \cdot 68,03^2}{8 \cdot 5,945} = 1946 \text{ kN} \quad (2 \text{ lana})$$

max osová síla o lano:

$$S_1 = H \cdot \frac{1}{\cos \varphi} \cdot \frac{1}{2} =$$

$$= 1946 \cdot \frac{1}{0,953} \cdot \frac{1}{2} = 1021 \text{ kN}$$

$$> 1013 \text{ kN} = F_{rd}$$

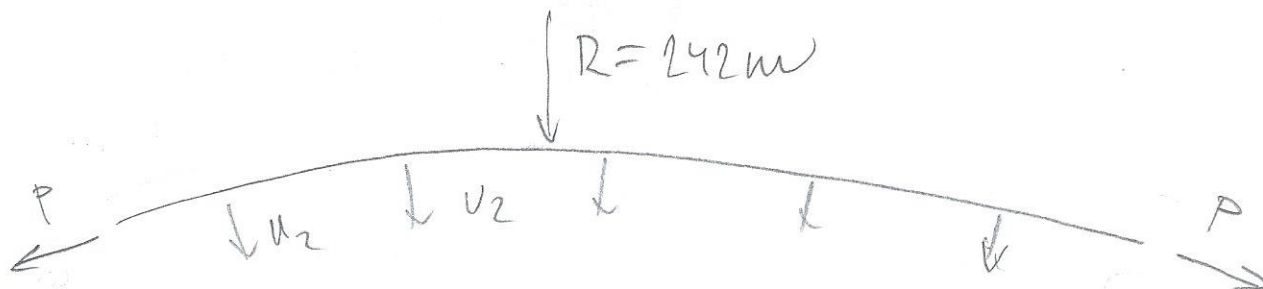
⇒ je třeba zvětšit průměr lana
volím lano $d_s = 45 \text{ mm}$

$$(A_m = 1340 \text{ mm}^2, F_{rd} = 1287 \text{ kN})$$

- viz str. stat. výpočet)



Schema stabilizačního lana



Lano umístěno ve svislé rovině \Rightarrow

\Rightarrow pouze tlak u_2

Lano je ve skutečnosti polygon

$$u_2 = P \cdot \frac{1}{r} = P \cdot \frac{1}{242} = P \cdot 0,0041 \text{ [kN/m]}$$

síla na 1 přechod: (1 lano)

$$U_2 = u_2 \cdot L = 0,0041 P \cdot 2,5 = \underline{0,0103 P \text{ [kN]}}$$

Závěs	Tíha lana	Tíha závěsu	Vídlíce	Lan. svorka	Tíha příčniku	Podélníky ocelové	Mostovka-podélníky	Mostovka-mostiny	Zábradlí	zavětrování	Přípoje mostovky, styk příčniku	Zatížení závěsů celkem	Zatížení 1 závěsu
	[kg]	[kg]	[kg]	[kg]	[kg]	[kg]	[kg]	[kg]	[kg]	[kg]	[kg]	[kg]	[kN]
1	91,5	32,1	4	12	236,0	285,5	191,1	288,0	140,0	80,0	42,0	1402	7,0
2	57,8	27,6	4	12	236,0	285,5	191,1	288,0	140,0	80,0	42,0	1364	6,8
3	57,5	23,4	4	12	236,0	285,5	191,1	288,0	140,0	80,0	42,0	1359	6,8
4	57,1	19,5	4	12	236,0	285,5	191,1	288,0	140,0	80,0	42,0	1355	6,8
5	56,9	16,0	4	12	236,0	285,5	191,1	288,0	140,0	80,0	42,0	1352	6,8
6	56,8	12,9	4	12	236,0	285,5	191,1	288,0	140,0	80,0	42,0	1348	6,7
7	56,4	10,2	4	12	236,0	285,5	191,1	288,0	140,0	80,0	42,0	1345	6,7
8	56,2	7,0	4	12	236,0	285,5	191,1	288,0	140,0	80,0	42,0	1342	6,7
9	56,2	6,2	4	12	236,0	285,5	191,1	288,0	140,0	80,0	42,0	1341	6,7
10	56,1	4,8	4	12	236,0	285,5	191,1	288,0	140,0	80,0	42,0	1340	6,7
11	56,0	4,0	4	12	236,0	285,5	191,1	288,0	140,0	80,0	42,0	1339	6,7
12	56,0	3,5	4	12	236,0	285,5	191,1	288,0	140,0	80,0	42,0	1338	6,7



Na'uthova' uko'shest kosny'ch lau

CSN EN 1993-1-11

podminka: $\frac{F_{Ed}}{F_{Rd}} \leq 1$

Fed - halvtoad halvtoad sig

Frd - — h — vlascnosti v tahn

$$F_{Rd} = \min \left\{ \frac{F_{t,k}}{1.5 \cdot \mu_R} ; \frac{F_{t,k}}{\mu_R} \right\} \quad \mu_R = 1.0$$

lako $d_s = 45 \text{ mm}$, 2 vrsti zaščitenih drabov,
tr. pevnosti 1570 MPa, ČSN 12385-70

$$d_s = 45 \text{ mm}$$

$$A_m = 1340 \text{ mm}^2$$

$$F_{uk} = 1920 \text{ kN} \text{ (char. hvarvota slyf pñ prētēne)}$$

F_k není třeba pro uzavření spirál. Láva
kontrolovat ($F_k > \frac{F_{uk}}{1,5}$ – pozn. 2) notny)

$$F_{rd} = \frac{F_{uk}}{1,5} = \frac{1930}{1,5 \cdot 1,0} = \underline{1287 \text{ kN}}$$



Projevná zatížení - zatížení dopravní

chodci

dl. 5.3.2.1, ČSN EN 1991-2, odst. 4.2)

- pro lok. účinky ($L \leq 10,0 \text{ m}$) určí se model
zatížení 4 - $q_{fk} = 5 \text{ kN/m}^2$

(souvislý hustý proud lidí)

- pro globální účinky (zatížení celé lávky,
případně části lávky) určí se rovnoměrné
zatížení podle vzorce:

$$q_{fk} = 2 + 120 / (L + 30) \text{ [kN/m}^2\text{]}$$

viz str.

$$- q_{fk} = 1,5 \text{ kN/m}^2$$

Soustředěné zatížení dle čl. 5.3.2.2
se neuvažuje, protože je stanoveno obecné
vůdlo.

Charakteristický vůdla (savitní vůz)
stavový dle TP vůdla:

① VW transporter, typ CXE

rozost: 3,4 m

nejvyšší povolená hmotnost: 3,5 t

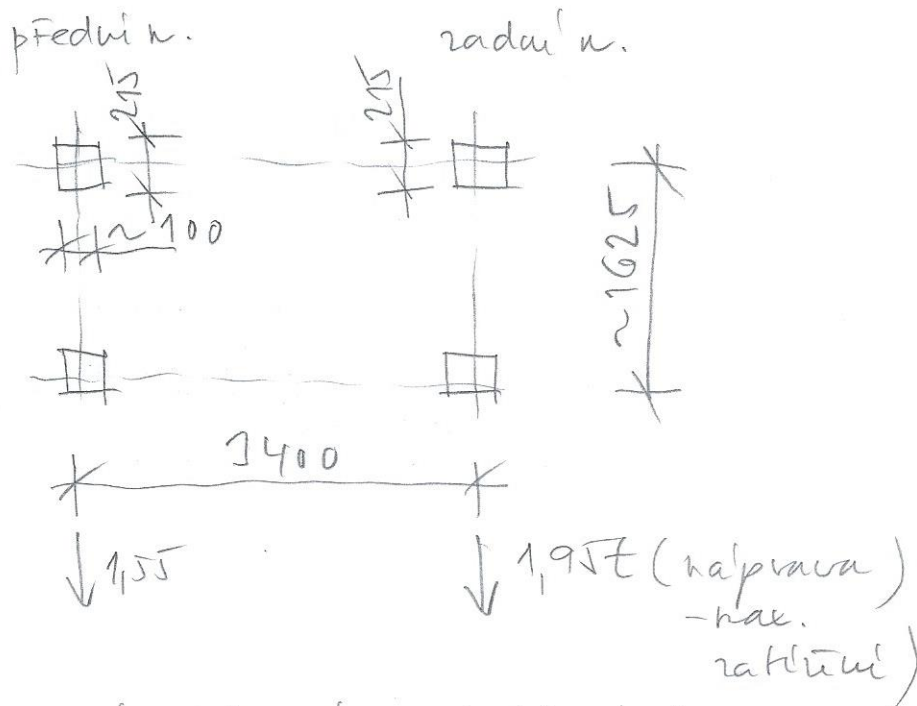
nejvyšší povolená hmotnost na nápravu: 1,75 / 1,95 t

rozchod: 1622 / 1628 mm

pneu: 215/60 R17 (obě nápravy)



Schema vozidla:



Roznesení zatížení zadního kola
 pro lokální účinky:

$$q_k = \frac{1,95 \cdot 10}{2} \cdot \frac{1}{(0,215 + 0,1)} = 453,5 \text{ kN/m}^2$$



② Mercedes Benz, LNHD2350E
typ G57.955

rozvor: 3,665m

rozchod: 1710/1716

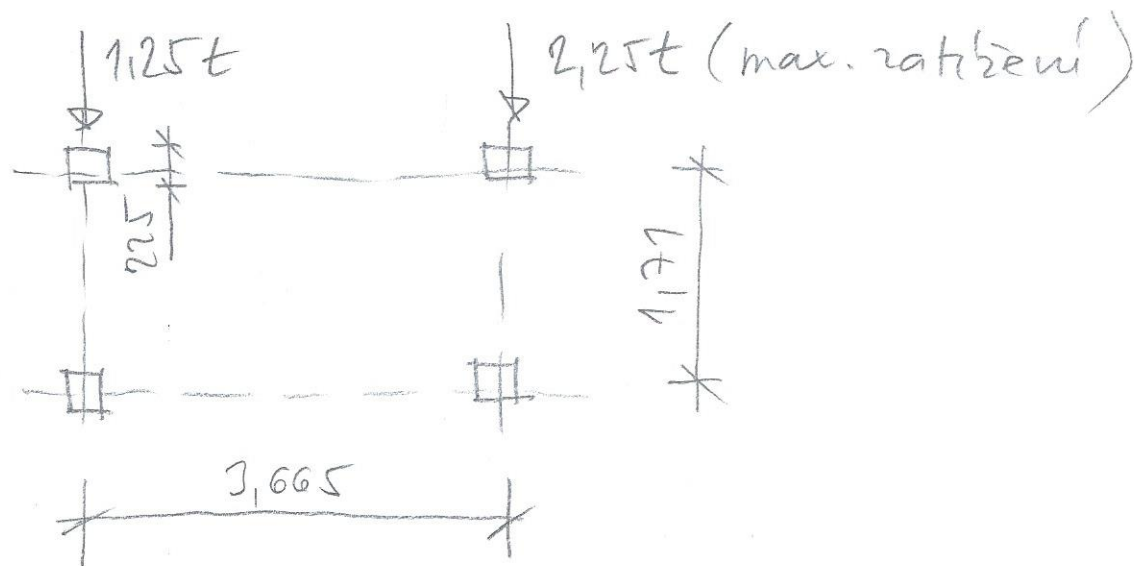
nejvyšší povolená hmotnost: 3,5t

— u —

každá osu: 1,8/2,25

pruw: 225/75 R16

Schema vozidla:



Roznesení zatížení zadního kola
po lokální účing:

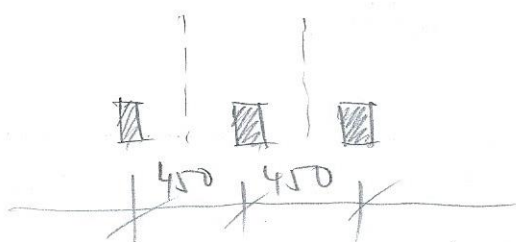
$$q_k = \frac{2,25 \cdot 10}{2} \cdot \frac{1}{0,225 \cdot 0,7^*}) = \underline{\underline{500 \text{ kN/m}^2}}$$

*) odhad šířky dopravní plochy kola

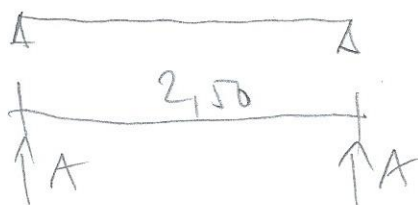


Zatížení podélněho mostovky

vnitřní podélně



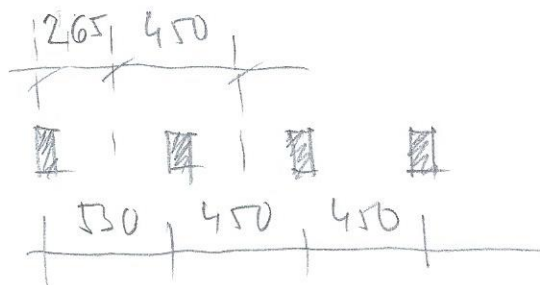
$$L = 2,5 \text{ m}$$



$$q_{fh} = 5 \text{ kN/m}^2 : A = \frac{0,45 \cdot 5 \cdot 2,5}{2} = 2,81 \text{ kN}$$

$$q_{fh} = 3,5 \text{ kN/m}^2 : A = \frac{0,45 \cdot 3,5 \cdot 2,5}{2} = 1,97 \text{ kN}$$

krajní podélně



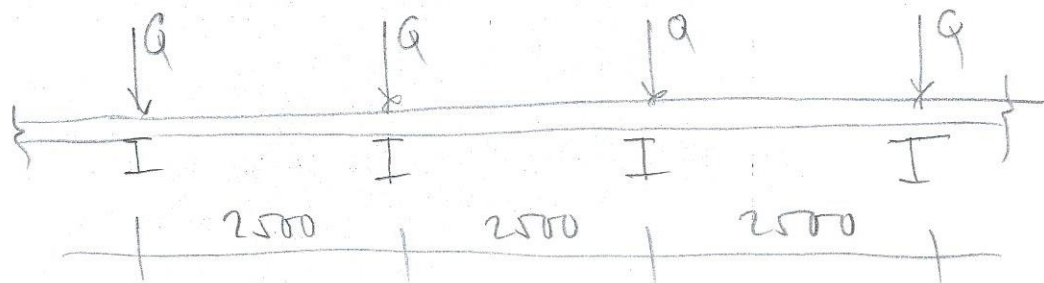
$$q_{fh} = 5 \text{ kN/m}^2 : A = \frac{0,265 \cdot 5 \cdot 2,5}{2} = 1,66 \text{ kN}$$

$$q_{fh} = 3,5 \text{ kN/m}^2 : A = \frac{0,265 \cdot 3,5 \cdot 2,5}{2} = 1,16 \text{ kN}$$



Zatížení na přechůdku - 2D model

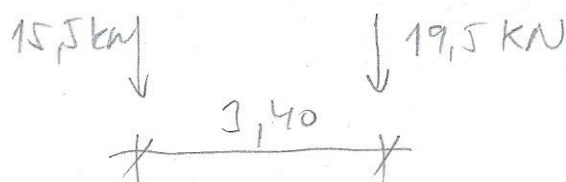
a) chodci



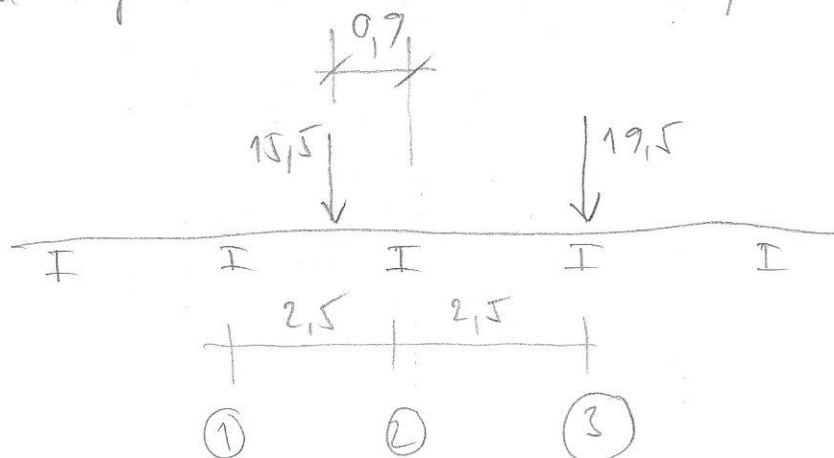
$$q_{pk} = 5 \text{ kN/m}^2 : \quad Q = 5 \cdot 3 \cdot 2,5 = 37,5 \text{ kN}$$

$$q_{fk} = 3,5 \text{ kN/m}^2 : \quad Q = 3,5 \cdot 3 \cdot 2,5 = 26,3 \text{ kN}$$

b) svislé vodorovně ①



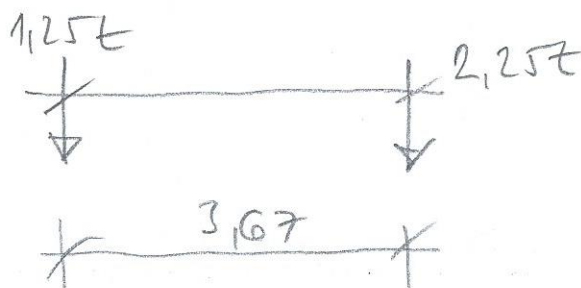
zadání nápravy umístění nad přechůdkem



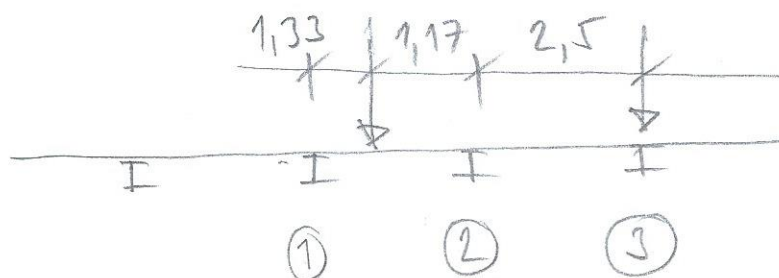
$$\left. \begin{aligned} \textcircled{1} \quad A &= 15,5 \cdot \frac{0,9}{2,5} = 5,6 \text{ kN} \\ \textcircled{2} \quad A &= 15,5 \cdot \frac{1,6}{2,5} = 9,9 \text{ kN} \\ \textcircled{3} \quad A &= 19,5 \text{ kN} \end{aligned} \right\} 35 \text{ kN}$$



c) servisní vozidlo (2)



Zadní nápravu umístím nad příčnicí



$$\begin{aligned}
 \textcircled{1} \quad A &= 12,5 \cdot \frac{1,17}{2,5} = 5,85 \text{ kN} \\
 \textcircled{2} \quad A &= 12,5 \cdot \frac{1,33}{2,5} = 6,65 \text{ kN} \\
 \textcircled{3} \quad A &= 22,5 \text{ kN}
 \end{aligned}
 \left. \vphantom{\begin{aligned} \textcircled{1} \\ \textcircled{2} \\ \textcircled{3} \end{aligned}} \right\} 35 \text{ kN}$$

Roznos ve délce příčnice $L = 2,30 \text{ m}$:

$$\begin{aligned}
 \textcircled{1} \quad q_k &= \frac{5,85}{2,3} = 2,54 \text{ kN/m} \\
 \textcircled{2} \quad q_k &= \frac{6,65}{2,3} = 2,89 \text{ kN/m} \\
 \textcircled{3} \quad q_k &= \frac{22,5}{2,3} = 9,78 \text{ kN/m}
 \end{aligned}$$



Vodorovná síla

$$\max \left\{ \begin{array}{l} 10\% \text{ celh. zatížení } q_{fk} \\ 60\% q_{sro} \end{array} \right\}$$

$$q_{fk} = 3,5 \text{ kN/m}^2 \quad L = 63,10 \text{ m (zahr. délka)}$$

$$Q_{fik} = 0,1 \cdot 3 \cdot 3,5 \cdot 63,10 = \underline{66,3 \text{ kN}}$$

$$Q_{fek} = 0,6 \cdot 35 = 21 \text{ kN}$$

Síla $Q_{fek} = 66,3 \text{ kN}$ bude použita pro posouzení ložisek, pro posouzení NK bude zanedbána.



Zatížení větrem (statické)

Uvažují pouze síly ve směru osy X , t. zn. kolmo na osu mostu

Podle [], kap. 8.1 lze vodu stanovit:

$$F_w = \frac{1}{2} \rho \cdot v_b^2 \cdot C \cdot A_{ref, X}$$

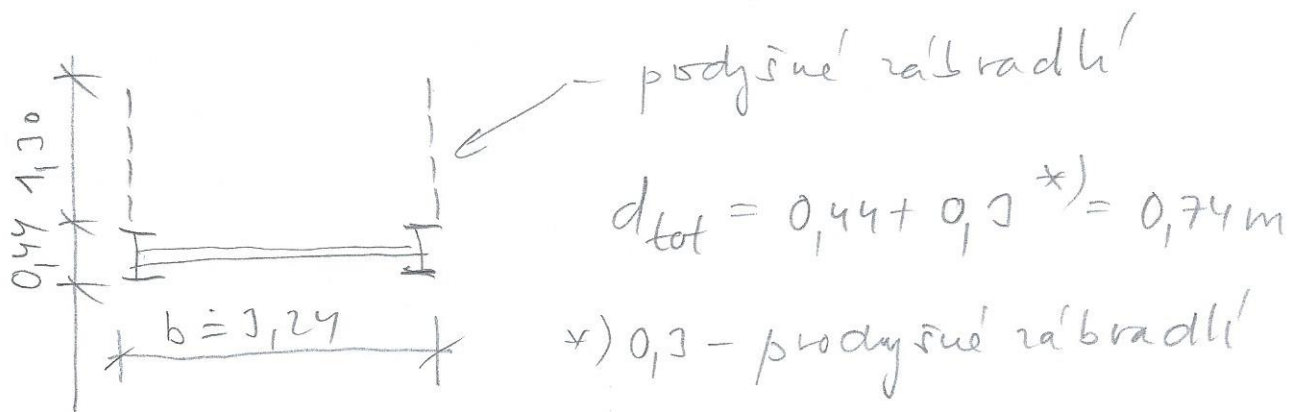
$$\rho = 1,25 \text{ kg/m}^3$$

pro oblast II podle tab. 4.1: $v_{b,0} = 25 \text{ m/s}$

$$C_{dir} = C_{season} = 1,0 \Rightarrow v_b = 25 \text{ m/s}$$

$$C = C_e \cdot C_{fx}$$

$$C_{fx} = C_{fx,0} \quad (\text{souč. síly})$$



$$\frac{b}{d_{tot}} = \frac{3,24}{0,74} = 4,4 = C_{fx,0} = 1,30$$

Součinitel expozice C_e

pro $z \approx 6,5 \text{ m} \rightarrow$ z tab. 4.4 pro kategorie terénu III:

$$C_e(z_e) = 1,409$$

$$\text{Potom: } C = C_{fx} \cdot C_e = 1,3 \cdot 1,409 = \underline{1,83}$$



Reflexní plocha:

$$A_{\text{ref},x} = L \cdot d_{\text{tot}}$$

$$L = 1,0 \text{ m}$$

$$d_{\text{tot}} = 0,74 \text{ m}$$

$$F_w = \frac{1}{2} \cdot \rho \cdot v_b^2 \cdot C \cdot A_{\text{ref},x}$$

$$F_w = \frac{1}{2} \cdot 1,25 \cdot 25^2 \cdot 1,83 \cdot 0,74 = 529 \text{ N} = \underline{\underline{0,53 \text{ kN/m}}}$$

Silý ve směru Z (prísl.) neuvažují.



Zatřetí teplost- ČSN EN 1991-1-5

$$\left. \begin{aligned} T_{e,min} &= T_{min} - 30^{\circ}\text{C} \\ T_{e,max} &= T_{max} + 16^{\circ}\text{C} \end{aligned} \right\} \text{N.A. 2.4}$$

$$\left. \begin{aligned} T_{min} &= -30,1 \div -32^{\circ}\text{C} \\ T_{max} &= 36,1 \div 38^{\circ}\text{C} \end{aligned} \right\} \begin{array}{l} \text{N.A. 1} \\ \text{N.A. 2} \end{array}$$

potom: $T_{e,min} = -31 - 3 = -34^{\circ}\text{C}$
 $T_{e,max} = +37 + 16 = +53^{\circ}\text{C}$

Char. hodnoty max a min rozsahu
 termometru složí teploty:

$$\Delta T_{n, con} = T_0 - T_{e,min} ; T_0 = 10^{\circ}\text{C}$$

$$\Delta T_{n, exp} = T_{e,max} - T_0$$

$$\Delta T_{n, con} = 10 - (-34) = \underline{44^{\circ}\text{C}} \text{ (pro zkrácení)}$$

$$\Delta T_{n, exp} = 53 - 10 = \underline{43^{\circ}\text{C}} \text{ (pro prodloužení)}$$



Návrhové hodnoty zatížení

- a) stálá zatížení – ol. váha NK
– mostovina + příslušenství
- b) hlavní proměnná zatížení
- c) vedlejší proměnná zatížení
– zatížení větrem

Součinitele zatížení

$$\gamma_{G, sup} = 1,35 \text{ (nepřímý účinek)}$$

$$\gamma_{G, sup} = 1,0 \text{ (přímý účinek)}$$

$$\gamma_Q = 1,35 \text{ (chodci)}$$

$$\gamma_Q = 1,50 \text{ (další proměnná zatížení)}$$

$$\psi = 0,85$$

Základní kombinace předpis

tab. A 2.4 (B), ČSN EN 1990/A1

G. 10 b

$$\gamma_{Gj, sup} \cdot G_{kj, sup} + \gamma_{Q, 1} \cdot Q_{k, 1} + \gamma_{Q, i} \cdot \psi_{0, i} \cdot Q_{k, i}$$



Sestava zatížení dopravní

systava

svislé síly

 g_{t1} normované q_{fk} g_{t2} obslužné vozidlo q_{seto}

Vodorovné síly pro rávku NK zanedbáváme,
poněmže je pouze pro posouzení ložisek
(číslo ložisek)

Dopoměčné hodnoty součinitelů ψ
pro rávy pro chodce:

zatížení	značka	ψ_0	ψ_1	ψ_2
doprava	g_{t1}	0,4	0,4	0
doprava	g_{t2}	0	0	0
doprava	q_{fuk}	0	0	0
vítě	F_{uk}	0,3	0,2	0
teplo		0,6	0,6	0,5
sníh	$Q_{sn,k}$	0,8	—	0
staveništní	Q_c	1,0	—	1,0

Dopomětnou hodnotu ψ_0 pro teplo
bude retrovise případně snížit až na
míru pro MS EQU, STR a GEO



Materiál do modelu konstrukce

- 1) nosné lavy – uzavřené pramenné lavy
s dvěma vstřami uzavřených drátů

jm. průměr : $d_s = 45 \text{ mm}$

jm. kosoj průřez : $A_m = 1140 \text{ mm}^2$

náhradní průřez do modelu konstrukce:

$$r = \sqrt{\frac{A_m}{n}} = \sqrt{\frac{1140}{\pi}} = \underline{20,7 \text{ mm}}$$

modul pružnosti: $E = 160 \pm 10 \text{ GPa}$

- 2) závěsy – ocel S 460 N ($f_y = 460 \text{ MPa}$)
 $E = 210\,000 \text{ MPa}$

- 3) pylon, mostovka: ocel (S 235, S 355)
 $E = 210\,000 \text{ MPa}$



Zatížení do modelu

Mostovka

Zatížení přetváhu

- podélník 140 x 200 - 2 ks

$$0,14 \cdot 0,2 \cdot 2,5 \cdot 4,2 \cdot 2 = 0,59$$

- podélník 140 x 180 - 5 ks

$$0,14 \cdot 0,18 \cdot 2,5 \cdot 4,2 \cdot 5 = 1,32$$

- nosník 150 x 60 - 16 ks

$$0,15 \cdot 0,06 \cdot 3 \cdot 6,4 \cdot 16 = 2,77$$

$$\text{celkem } G = 4,68 \text{ kN}$$

rozděleno rovnoměrně na délku 3,0 m

$$\rightarrow q_k = \frac{4,68}{3} = 1,56 \text{ kN/m}$$

kácový přetvák - zatížení poloviční
hodnotou



styčnickou plochou mostu

$$b = 0,028. \quad f = 0,2 \text{ kN} - \text{závedba na m}$$

Zatřídění

1 strana : $q_k = 0,28 \text{ kN/m}$

síla na přechodu : $q_k = 0,28. 2,5 = 0,7 \text{ kN}$



Nahraditel - chodci

$$q_k = 3,5 \text{ kN/m}^2$$

zatížení přímku (na délku 3,0 m)

$$q_k = \frac{3,5 \cdot 3 \cdot 2,5}{3} = 8,75 \text{ kN/m}$$

krajní přímek: $q_k = \frac{8,75}{2} = 4,4 \text{ kN/m}$

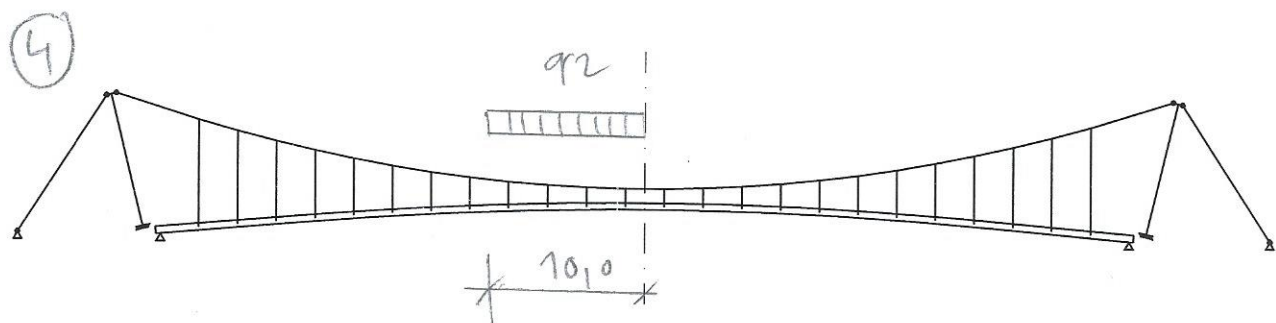
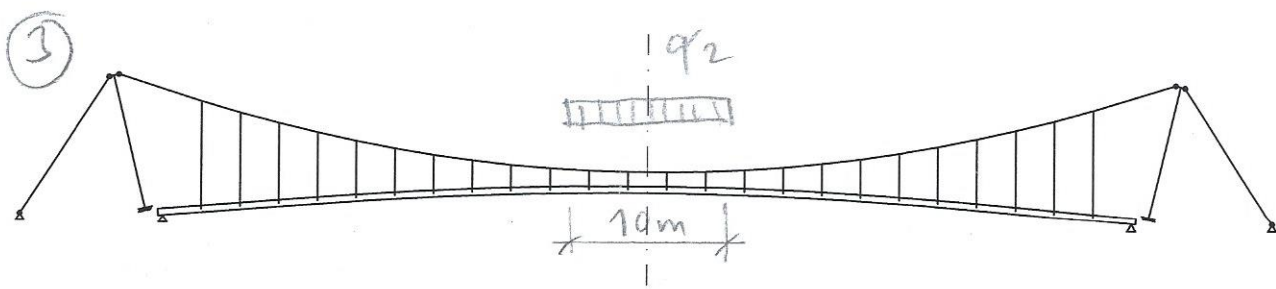
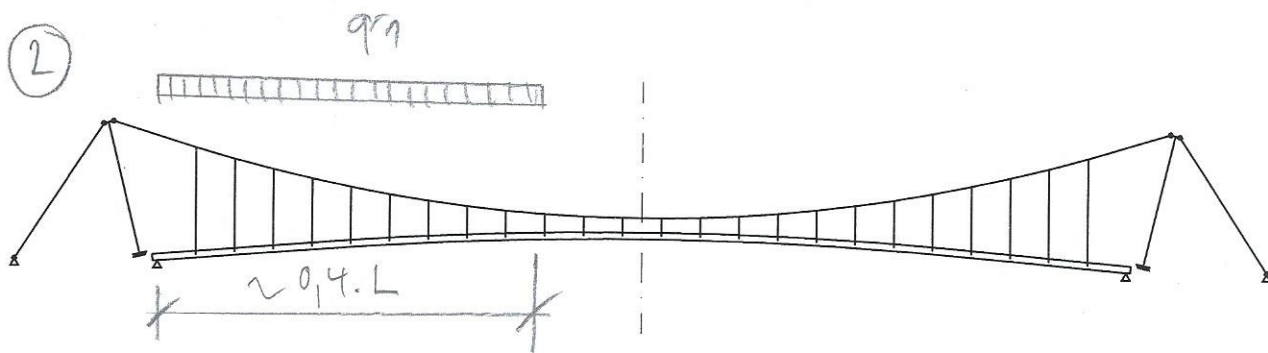
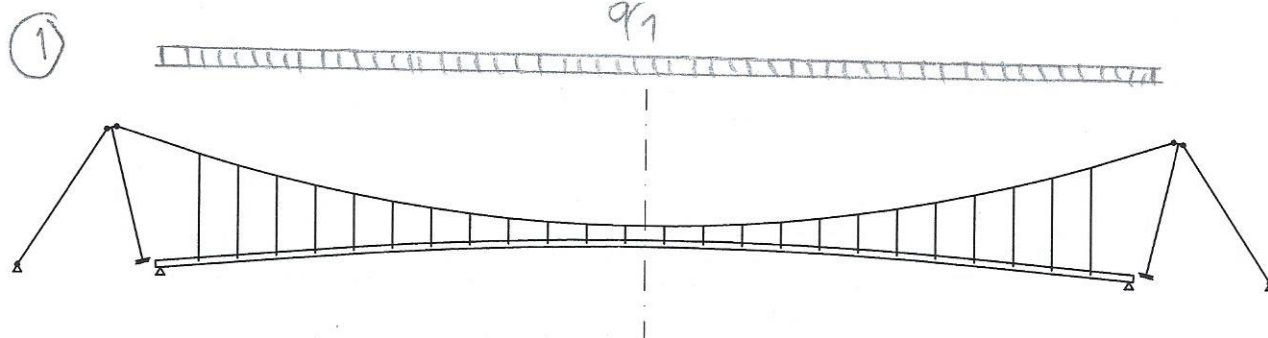
$$q_k = 5 \text{ kN/m}^2$$

zatížení přímku (na délku 3,0 m)

$$q_k = \frac{5 \cdot 3 \cdot 2,5}{3} = 12,5 \text{ kN/m}$$



Rozmístění rovnoměrného zatížení

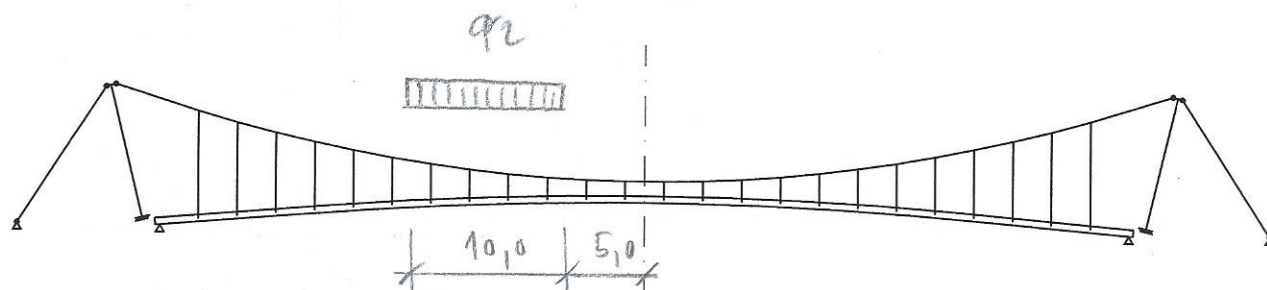


$$q_{1,k} = 3,5 \text{ kN/m}^2$$

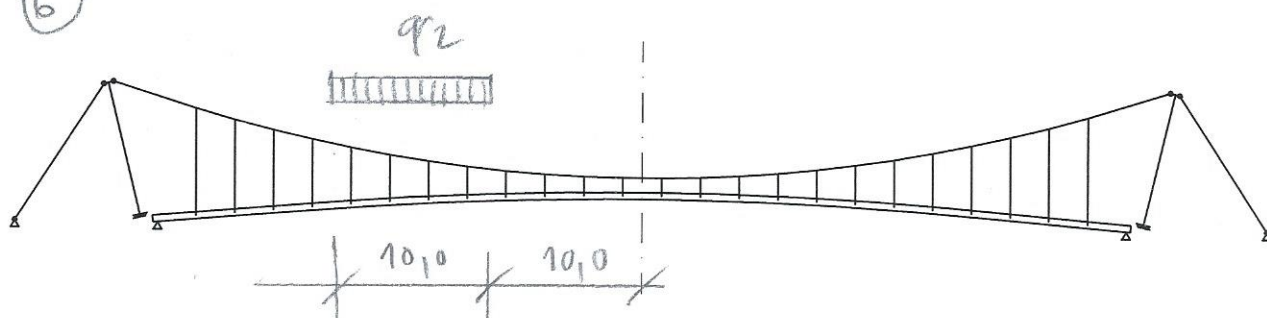
$$q_{2,k} = 5,0 \text{ kN/m}^2$$



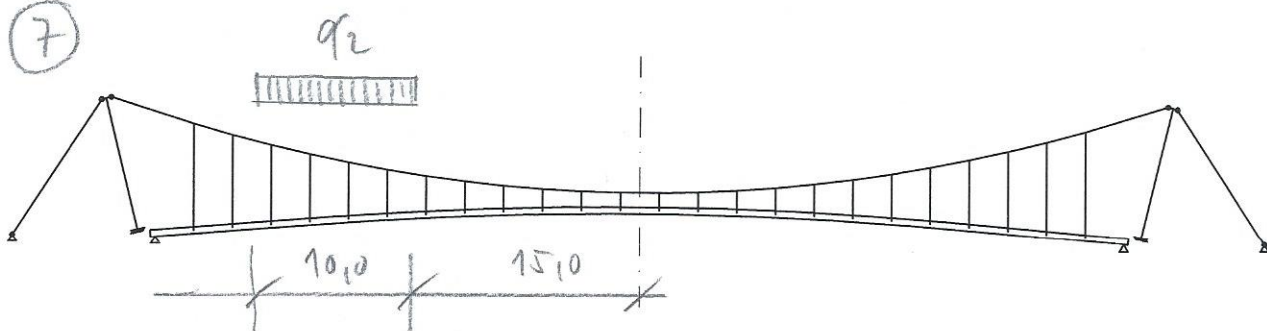
⑤



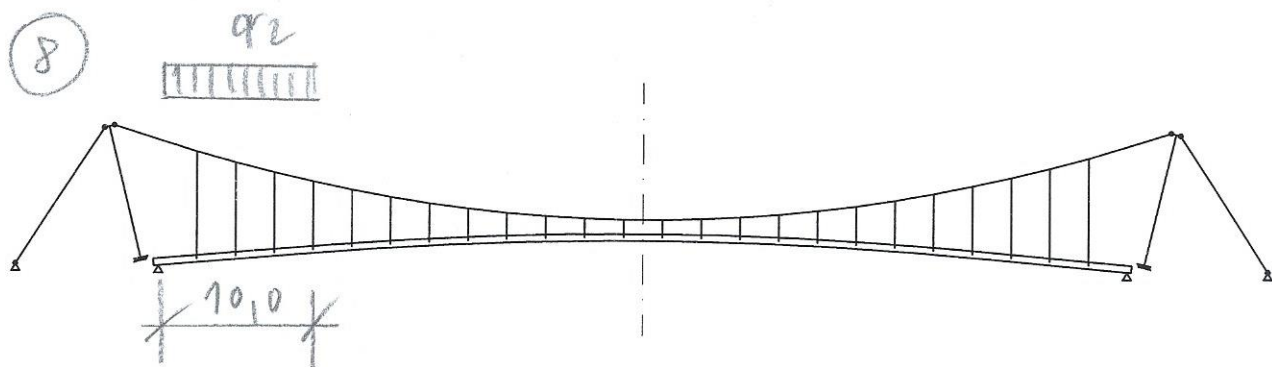
⑥



⑦



⑧



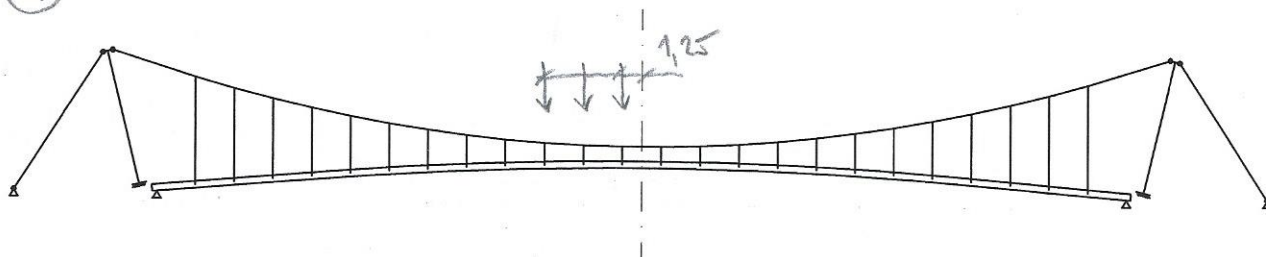
$$q_{1,k} = 3,5 \text{ kN/m}^2$$

$$q_{2,k} = 5,0 \text{ kN/m}^2$$

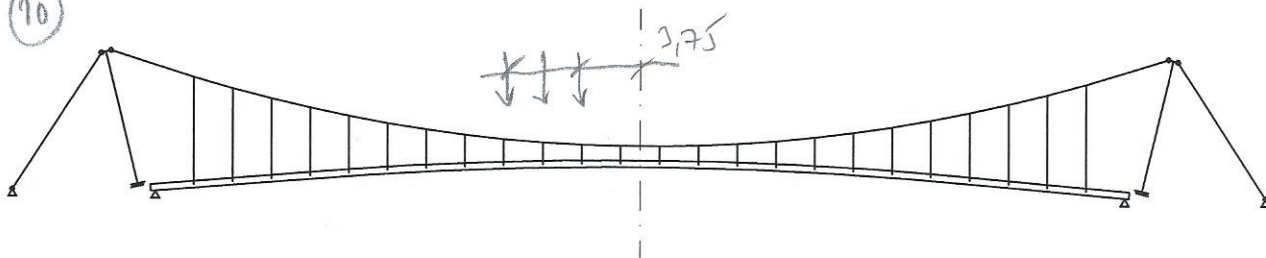


Polohy serúeného vozidla
(zatížení vždy 3 příčuly - viz str.)

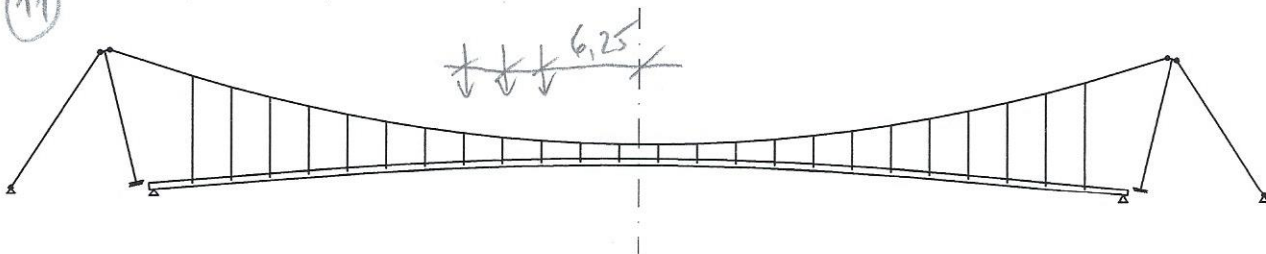
9



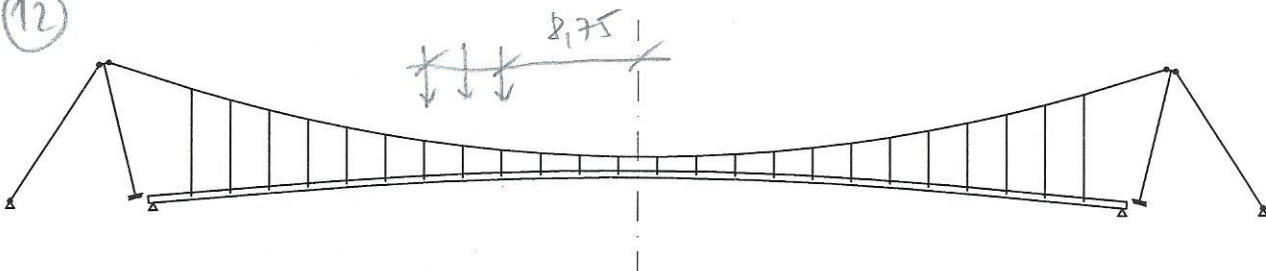
10



11

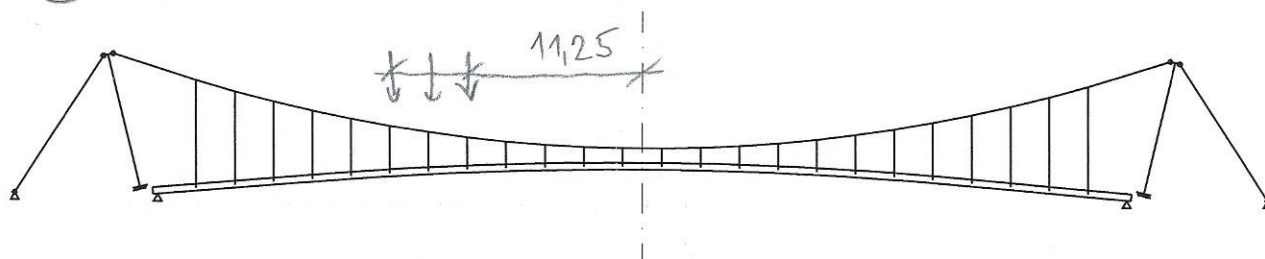


12

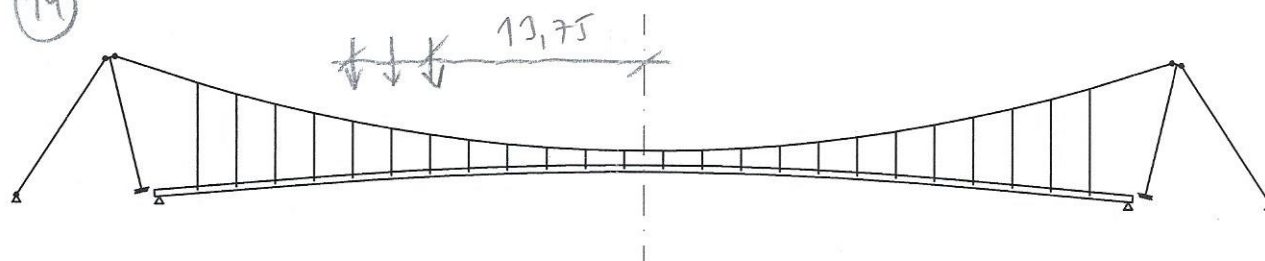




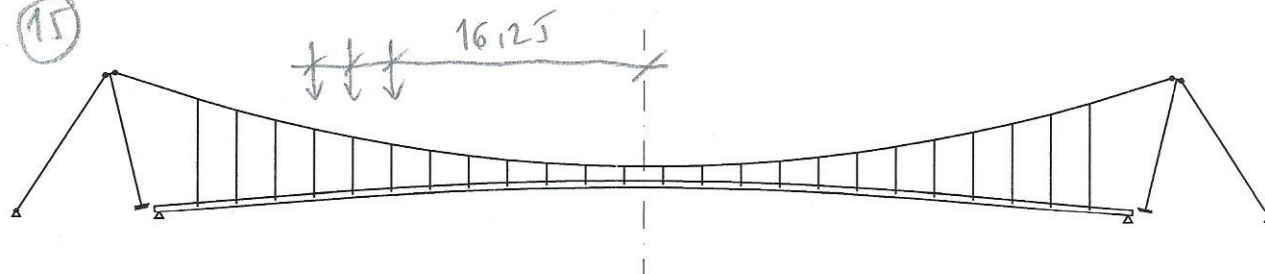
13



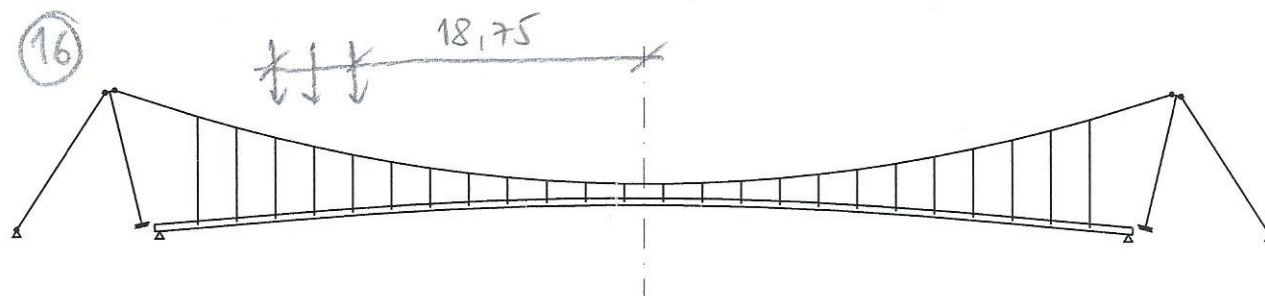
14



15

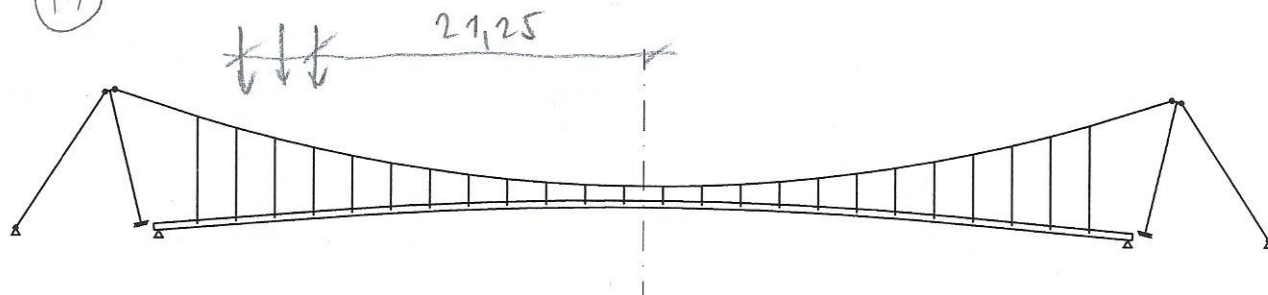


16

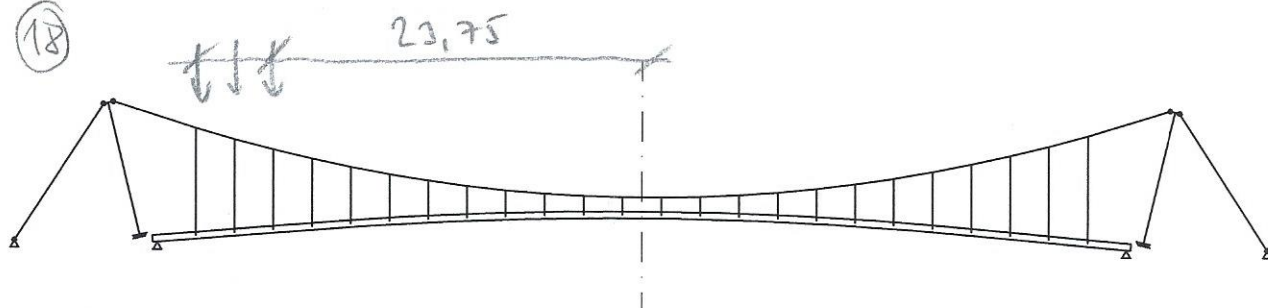




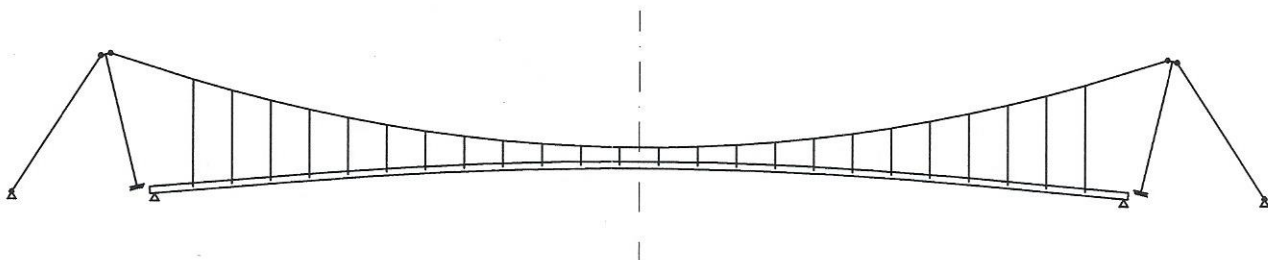
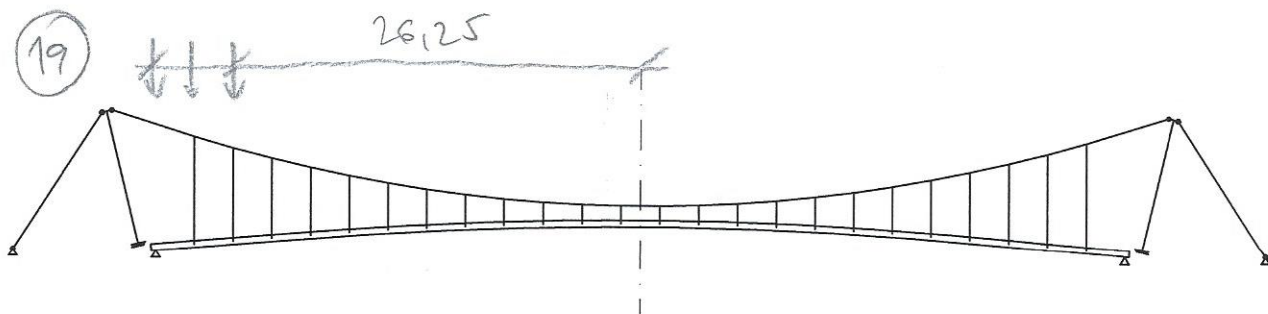
17



18



19





Prvek	Nelineární kombinace NC1						Extrémní nelineární kombinace						Souč.zatížení		Návrhové hodnoty					
	N	Vy	Vz	Mx	My	Mz	N	Vy	Vz	Mx	My	Mz	yG	yQ	N	Vy	Vz	Mx	My	Mz
stojka pylonu	-564,0	1,2	-1,0	0,0	1,2	3,5	-1 137,0	2,6	-0,2	0,0	44,0	9,6	1,15	1,35	-1422,2	3,3	-0,1	0,0	59,2	12,3
podélníky	-27,0	0,0	1,4	0,0	0,0	0,0	-709,0	0,0	25,0	0,0	-0,4	0,0	1,15	1,35	-951,8	0,0	33,5	0,0	-0,5	0,0
podélníky	-27,0	0,0	-1,0	0,0	2,0	0,0	-187,0	1,0	1,7	0,0	153,0	1,0	1,15	1,35	-247,1	1,4	2,5	0,0	206,2	1,4
příčnicko-vnitřní část	4,8	0,0	-1,0	0,0	5,0	0,0	-63,0	0,0	4,0	0,0	20,0	-0,5	1,15	1,35	-86,0	0,0	5,6	0,0	26,0	-0,7
příčnicko-konzoly	0,0	0,0	-4,4	0,0	4,0	0,0	0,0	-26,0	-6,0	-0,8	5,4	-18,4	1,15	1,35	0,0	-35,1	-7,2	-1,1	6,5	-24,8
zavětrování	-8,7	0,0	0,0	0,0	0,0	0,0	-92,0	0,0	0,0	0,0	0,0	0,0	1,15	1,35	-122,5	0,0	0,0	0,0	0,0	0,0
závěsy	14,0	0,0	0,0	0,0	0,0	0,0	29,0	0,0	0,0	0,0	0,0	0,0	1,15	1,35	36,4	0,0	0,0	0,0	0,0	0,0
nosná lana	387,0	0,0	0,0	0,0	0,0	0,0	792,0	0,0	0,0	0,0	0,0	0,0	1,15	1,35	991,8	0,0	0,0	0,0	0,0	0,0
zpětná lana	492,0	0,0	0,0	0,0	0,0	0,0	1 004,0	0,0	0,0	0,0	0,0	0,0	1,15	1,35	1257,0	0,0	0,0	0,0	0,0	0,0
příčel pylonu	18,1	0,0	-1,1	0,0	-2,0	0,3	25,3	0,6	-7,3	2,7	-13,8	-1,4	1,15	1,35	30,5	0,8	-9,6	3,6	-18,2	-2,0

1) Součinitele ψ byly zahrnuty do extrémní kombinace, zohledněna byla i velikost součinitele ψ

Poznámky:



Stojka pylonu, průřez ve vetknutí do opěry, charakt.hodnoty

Vnitřní síly na prutu(ech). Globální extrém

Nelineární výpočet, počáteční napětí, lokální nelinearity, II. řád

Skupina prutů :120

Skupina nelineárních kombinací :13

prut	pr.č.	nel. k.	dx [m]	N [kN]	Vy [kN]	Vz [kN]	Mx [kNm]	My [kNm]	Mz [kNm]
120	24	13	8.904	-1137.16	2.69	-0.23	-0.00	43.99	9.55
			0.000	-1124.62	2.17	6.56	-0.00	4.82	-15.25

Nelineární výpočet, počáteční napětí, lokální nelinearity, II. řád

Skupina prutů :120

Skupina nelineárních kombinací :1

prut	pr.č.	nel. k.	dx [m]	N [kN]	Vy [kN]	Vz [kN]	Mx [kNm]	My [kNm]	Mz [kNm]
120	24	1	8.904	-563.48	1.17	-1.01	-0.00	1.19	3.50
			0.000	-550.95	1.03	1.12	-0.00	0.65	-6.88
			4.749	-557.63	1.21	-0.01	-0.00	3.35	-1.49

Podélníky

Vnitřní síly na prutu(ech). Globální extrém

Nelineární výpočet, počáteční napětí, lokální nelinearity, II. řád

Skupina prutů :29/30,147/148,339/414

Skupina nelineárních kombinací :1/16

prut	pr.č.	nel. k.	dx [m]	N [kN]	Vy [kN]	Vz [kN]	Mx [kNm]	My [kNm]	Mz [kNm]
341	6	10	2.500	507.41	0.00	-0.45	0.00	3.47	-0.01
413		11	0.000	-709.12	-0.01	24.99	0.01	-0.42	0.05
407		14	2.500	-186.76	1.02	1.68	0.03	152.51	1.02
365			1.252	-164.42	0.15	-0.43	0.00	-93.66	-0.04

Nelineární výpočet, počáteční napětí, lokální nelinearity, II. řád

Skupina prutů :407,413

Skupina nelineárních kombinací :1

prut	pr.č.	nel. k.	dx [m]	N [kN]	Vy [kN]	Vz [kN]	Mx [kNm]	My [kNm]	Mz [kNm]
413	25	1	0.000	-27.04	-0.00	1.40	0.01	0.13	0.01
407			0.833	-26.51	0.03	0.13	-0.00	2.68	-0.01
			2.500	-26.42	0.03	-1.00	-0.00	1.95	0.04
			0.000	-26.56	0.03	0.70	-0.00	2.33	-0.04



Příčnicko-vnitřní část

Vnitřní síly na prutu(ech). Globální extrém

Nelineární výpočet, počáteční napětí, lokální nelinearity, II. řád

Skupina prutů :31/43,149/161

Skupina nelineárních kombinací :1/16

prut	pr.č.	nel. k.	dx [m]	N [kN]	Vy [kN]	Vz [kN]	Mx [kNm]	My [kNm]	Mz [kNm]
42	1	13	2.300	119.95	0.08	-12.28	0.00	9.73	0.25
32		14	0.767	-67.91	0.12	4.34	0.00	8.16	0.41
35				-62.60	0.07	4.10	0.00	19.87	-0.49
31		15	2.300	0.01	0.19	-6.66	-0.00	-2.56	0.05
		16		0.52	6.06	-5.57	0.09	-1.77	6.91
149				0.52	-6.05	-5.57	-0.09	-1.78	-6.90

Nelineární výpočet, počáteční napětí, lokální nelinearity, II. řád

Skupina prutů :32,35,149

Skupina nelineárních kombinací :1

prut	pr.č.	nel. k.	dx [m]	N [kN]	Vy [kN]	Vz [kN]	Mx [kNm]	My [kNm]	Mz [kNm]
32	1	1	2.300	4.54	-0.03	-2.48	0.00	3.73	0.04
			1.533	4.54	-0.02	-0.81	0.00	5.00	0.06
			0.000	4.54	-0.02	2.51	0.00	3.69	0.10
35			2.300	4.80	-0.00	-2.49	0.00	3.93	0.10
			1.533	4.80	-0.00	-0.83	0.00	5.20	0.10
			0.000	4.80	-0.00	2.50	0.00	3.92	0.10
149			1.533	0.00	0.01	-0.53	0.00	0.20	0.00
			0.767	0.00	0.01	0.53	0.00	0.20	-0.00
			2.300	0.00	0.01	-1.60	0.00	-0.61	0.01
			0.000	0.00	0.01	1.60	0.00	-0.61	-0.01



Zavětrování mostovky

Vnitřní síly na prutu(ech). Globální extrém

Nelineární výpočet, počáteční napětí, lokální nelinearity, II. řád

Skupina prutů :239/338

Skupina nelineárních kombinací :1/16

prut	pr.č.	nel. k.	dx [m]	N [kN]	Vy [kN]	Vz [kN]	Mx [kNm]	My [kNm]	Mz [kNm]
239	21	14	1.699	52.78	-0.03	0.11	0.00	0.25	-0.19
310		13	0.000	-91.75	-0.11	-0.21	-0.00	0.46	-0.00
246		14		46.34	-0.37	-0.69	-0.01	1.92	-0.03
254		10		-49.16	-0.02	1.70	0.00	-1.98	-0.00
240		16	1.699	-29.71	0.26	0.42	-0.00	-0.59	0.36
258		14	1.700	50.99	-0.36	-0.66	-0.01	0.81	-0.59

Nelineární výpočet, počáteční napětí, lokální nelinearity, II. řád

Skupina prutů :254,310

Skupina nelineárních kombinací :1

prut	pr.č.	nel. k.	dx [m]	N [kN]	Vy [kN]	Vz [kN]	Mx [kNm]	My [kNm]	Mz [kNm]
310	21	1	0.000	-8.67	-0.09	-0.08	-0.00	0.20	-0.01
254			1.699	-3.57	0.08	0.08	0.00	0.20	-0.01
310				-8.67	0.10	-0.26	-0.00	-0.10	-0.00
254			0.000	-3.58	-0.10	0.26	0.00	-0.09	0.00
			1.132	-3.57	0.02	0.14	0.00	0.14	-0.04

Závěsy

Vnitřní síly na prutu(ech). Globální extrém

Nelineární výpočet, počáteční napětí, lokální nelinearity, II. řád

Skupina prutů :5/10,16/21,83/94,123/128,134/139,201/212

Skupina nelineárních kombinací :1/16

prut	pr.č.	nel. k.	dx [m]	N [kN]	Vy [kN]	Vz [kN]	Mx [kNm]	My [kNm]	Mz [kNm]
20	2	13	0.892	28.92	0.01	0.00	-0.00	0.00	0.00

Nelineární výpočet, počáteční napětí, lokální nelinearity, II. řád

Skupina prutů :5/10,16/21,83/94,123/128,134/139,201/212

Skupina nelineárních kombinací :1

prut	pr.č.	nel. k.	dx [m]	N [kN]	Vy [kN]	Vz [kN]	Mx [kNm]	My [kNm]	Mz [kNm]
20	2	1	0.892	14.02	0.00	0.00	-0.00	0.00	0.00



Nosná lana

Vnitřní síly na prutu(ech). Globální extrém

Nelineární výpočet, počáteční napětí, lokální nelinearity, II. řád

Skupina prutů :58/69,107/118,176/187,225/238

Skupina nelineárních kombinací :13

prut	pr.č.	nel. k.	dx [m]	N [kN]	Vy [kN]	Vz [kN]	Mx [kNm]	My [kNm]	Mz [kNm]
225	17	13	0.593	792.39	0.03	-0.19	0.00	-0.00	-0.00

Nelineární výpočet, počáteční napětí, lokální nelinearity, II. řád

Skupina prutů :58

Skupina nelineárních kombinací :1

prut	pr.č.	nel. k.	dx [m]	N [kN]	Vy [kN]	Vz [kN]	Mx [kNm]	My [kNm]	Mz [kNm]
58	17	1	0.000	387.06	0.06	-0.00	0.00	0.00	-0.02

Zpětná lana

Vnitřní síly na prutu(ech). Globální extrém

Nelineární výpočet, počáteční napětí, lokální nelinearity, II. řád

Skupina prutů :4,57,122,175

Skupina nelineárních kombinací :13

prut	pr.č.	nel. k.	dx [m]	N [kN]	Vy [kN]	Vz [kN]	Mx [kNm]	My [kNm]	Mz [kNm]
175	17	13	0.653	1004.07	-0.04	0.04	-0.00	0.00	0.04

Nelineární výpočet, počáteční napětí, lokální nelinearity, II. řád

Skupina prutů :4,57,122,175

Skupina nelineárních kombinací :1

prut	pr.č.	nel. k.	dx [m]	N [kN]	Vy [kN]	Vz [kN]	Mx [kNm]	My [kNm]	Mz [kNm]
4	17	1	0.000	492.45	-0.09	0.00	-0.00	0.00	0.04



Příčel pylonu

Vnitřní síly na prutu(ech). Globální extrém

Nelineární výpočet, počáteční napětí, lokální nelinearity, II. řád

Skupina prutů :3,121

Skupina nelineárních kombinací :16

prut	pr.č.	nel. k.	dx [m]	N [kN]	Vy [kN]	Vz [kN]	Mx [kNm]	My [kNm]	Mz [kNm]
3	4	16	1.875	25.26	0.56	-6.03	2.71	-1.39	0.38
			1.250	25.26	0.56	-5.64	2.71	2.25	0.03
121				25.26	-0.56	-5.64	-2.71	2.25	-0.03
3			0.000	25.25	0.56	-4.87	2.71	8.82	-0.67
			3.750	25.25	0.57	-7.25	2.71	-13.84	1.44
121				25.25	-0.57	-7.25	-2.71	-13.83	-1.44

Nelineární výpočet, počáteční napětí, lokální nelinearity, II. řád

Skupina prutů :3,121

Skupina nelineárních kombinací :1

prut	pr.č.	nel. k.	dx [m]	N [kN]	Vy [kN]	Vz [kN]	Mx [kNm]	My [kNm]	Mz [kNm]
121	4	1	1.875	18.09	0.00	0.00	0.00	-0.84	-0.31
3			0.000	18.09	-0.00	1.19	0.00	-1.95	0.31
			3.750	18.09	0.00	-1.19	0.00	-1.95	0.31
121			0.000	18.09	0.00	1.19	0.00	-1.95	-0.31

Příčníky - konzoly

Vnitřní síly na prutu(ech). Globální extrém

Nelineární výpočet, počáteční napětí, lokální nelinearity, II. řád

Skupina prutů :44/56,70/82,162/174,188/200

Skupina nelineárních kombinací :1/16

prut	pr.č.	nel. k.	dx [m]	N [kN]	Vy [kN]	Vz [kN]	Mx [kNm]	My [kNm]	Mz [kNm]
80	1	16	0.280	0.35	-0.02	-11.43	-0.02	5.00	0.01
54			0.725	-0.41	0.08	-16.90	0.03	0.19	-0.00
		13	0.000	0.04	0.17	-19.12	0.03	16.29	-0.12
44		14		0.00	-0.53	5.24	-0.07	-1.34	0.26
162		10		-0.00	-25.61	-6.36	0.77	5.40	18.35
44				0.00	25.71	-6.38	-0.77	5.41	-18.43

Nelineární výpočet, počáteční napětí, lokální nelinearity, II. řád

Skupina prutů :44,54

Skupina nelineárních kombinací :1

prut	pr.č.	nel. k.	dx [m]	N [kN]	Vy [kN]	Vz [kN]	Mx [kNm]	My [kNm]	Mz [kNm]
44	1	1	0.725	0.00	0.01	-6.05	0.06	-0.00	-0.00
			0.000	0.00	0.00	-4.36	0.06	3.93	-0.00
			0.242	0.00	0.00	-4.88	0.06	2.81	-0.00
54			0.725	0.01	0.01	-8.98	0.02	-0.01	-0.00
			0.000	0.01	0.00	-7.29	0.02	6.04	-0.00



Návrhová únosnost nosných lam

ČSN EN 1993-1-1

podmínka: $\frac{F_{Ed}}{F_{Rd}} \leq 1$

F_{Ed} – návrhová hodnota síly

F_{Rd} – únosnost o tahu

$$F_{Rd} = \min \left\{ \frac{F_{yk}}{1,5 \cdot \gamma_R} ; \frac{F_k}{\gamma_R} \right\} \quad \gamma_R = 1,0$$

Lam $d_s = 55 \text{ mm}$, 3 vřetý uzavřený drát
 tří. pevnosti 1570 MPa, ČSN 12385-10

$$d_s = 55 \text{ mm}$$

$$A_m = 2090 \text{ mm}^2$$

$$F_{yk} = 3020 \text{ kN} \text{ (char. hodnota síly při přetřem')}$$

F_k není třeba pro uzavřená spirál. lam
 kontrolovat ($F_k > \frac{F_{yk}}{1,5}$ – pozn. 2) hodnoty)

$$F_{Rd} = \frac{F_{yk}}{\gamma_R \cdot 1,5} = \frac{3020}{1,0 \cdot 1,5} = \underline{\underline{2013 \text{ kN}}}$$

$$> F_{Ed} = 992 \text{ kN} \text{ (nosná lam)}$$

$$> F_{Ed} = 1257 \text{ kN} \text{ (zpeřlá lam)}$$



MSP - omezení napětí

napětí při přetřžení:

$$\sigma_{uk} = \frac{F_{uk}}{A_m} = \frac{3020 \cdot 10^3}{2090} = 1445 \text{ MPa}$$

Hodnoty omezených napětí:

pro montážní fázi: $f_{const} = 0,55 \sigma_{uk} = 795 \text{ MPa}$

pro provozní —: $f_{sls} = 0,45 \sigma_{uk} = 650 \text{ MPa}$

Požadavek pro provozní podmínky

(v montážní fázi podstatně menší zatížení)

Síla v lanku pro provozní zatížení:

(char. hodnota)

$$\underline{S = 991 \text{ kN (četři lanka)}}$$

$$\sigma_{sls} = \frac{S}{A_m} = \frac{1004 \cdot 10^3}{2090} = \underline{480 \text{ MPa} < 650 \text{ MPa}}$$

Lano vyhovuje z hlediska MSP omezení napětí.



Posouzení nosného lanka na únavu

Norm. napětí v lankě budou posouzena na únavu. U lanových systémů nastane porušení otužitel v kotvení.

Kategorie detailu pro únavovou pevnost podle EN 1993-1-9, tab. 9.1:

skupina B2 – pleť uzavřené spirálové lano se zajištěním koncůvkami:

$$\Delta \sigma_e = 150 \text{ MPa}$$

Stanovení rozkmitu normálových napětí

pro určení rozkmitu $\Delta \sigma$ je uvažováno zatížením $q_k = 0,3 q_{fk}$ (katakt. hodnota)

Síla v lankě pro $q_k = 0,3 q_{fk}$:

$$S = 387,0 + 0,3(792 - 387,0) = 509 \text{ kN}$$

$$\Delta \sigma = \frac{(509 - 387,0) \cdot 10^3}{2090} = 58 \text{ MPa}$$

Posouzení:

$$a) \Delta \sigma \leq 1,5 \cdot f_y \rightarrow \text{únavě splněno}$$



$$b) \frac{\mu_{FF} \cdot \Delta \sigma}{\Delta \sigma / \mu_{MF}} \leq 1$$

$$\mu_{MF} = 1,35$$

$$\mu_{FF} = 1,0$$

$$\frac{\mu_{FF} \cdot \Delta \sigma}{\Delta \sigma / \mu_{MF}} = \frac{1 \cdot 58}{150 / 1,35} = \underline{0,52 < 1,0}$$

Pro zjetou láva:

$$S \doteq 492 + 0,5 (1004 - 492) = 646 \text{ kN}$$

$$\Delta \sigma = \frac{(646 - 492) \cdot 10^3}{2090} = 74 \text{ MPa}$$

Porovnání:

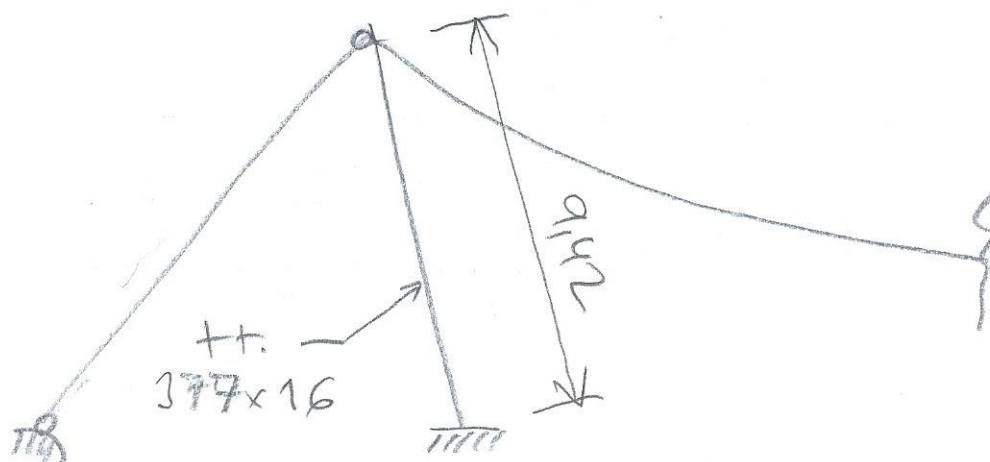
a) \rightarrow ulehčení

$$b) \frac{1 \cdot 74}{150 / 1,35} = \underline{0,67 < 1,0}$$



Posouzení stojky pylonu

Scelena



Posoudím průřez ve větcevní!

Průřezové veličiny:

$$A = 1,815 \cdot 10^4 \text{ mm}^2$$

$$W_{el} = 1571,2 \cdot 10^3 \text{ mm}^3$$

$$i_y = i_z = 127,8 \text{ mm}$$

materiál: S355 J2H

Naložím hodnoty vnitřích sil:

$$N_{Ed} = -1422 \text{ kN}$$

$$M_{y,Ed} = 59,2 \text{ kNm}$$

$$M_{z,Ed} = 12 \text{ kNm}$$



$$1) \frac{N_{Ed}}{k_y \cdot N_{Rk}} + k_{yy} \cdot \frac{M_{y,Ed}}{k_{LT} \cdot M_{y,Rk}} + k_{yz} \cdot \frac{M_{z,Ed}}{M_{z,Rk}} \leq 1$$

$$2) \frac{N_{Ed}}{k_z \cdot N_{Rk}} + k_{zy} \cdot \frac{M_{y,Ed}}{k_{LT} \cdot M_{y,Rk}} + k_{zz} \cdot \frac{M_{z,Ed}}{M_{z,Rk}} \leq 1$$

$k_{LT} = 1,0$ (klopec neuvazují - dutý
průřez tuhý na koncích)

$$k_{M1} = 1,0$$

$k_{ey} = k_z$ (uvazují stejné vyet pro oba
směry)

Stabilitní posouzení

$$L_{cr1} = L_{cr2} = 9,42 \cdot 2 = 18,84 \text{ m}$$

$$\lambda_y = \sqrt{\frac{A \cdot f_y}{N_{cr}}} = \frac{L_{cr} \cdot 1}{i_y \cdot \lambda_1} \quad (\text{uvazují konzervativně konzolu})$$

$$\lambda_1 = 93,9 \cdot E = 93,9 \cdot 0,81 = 76,06$$

$$i_y = 127,8 \text{ mm}$$

$$\lambda_y = \frac{18840}{127,8 \cdot 76,06} = 1,938$$



křivka vyjetosti:

$$a) \rightarrow \alpha = 0,21$$

$$\Phi = 0,5 [1 + \alpha (\bar{\lambda}_y - 0,2) + \bar{\lambda}_y^2] =$$

$$= 0,5 [1 + 0,21 (1,938 - 0,2) + 1,938^2] = 2,56$$

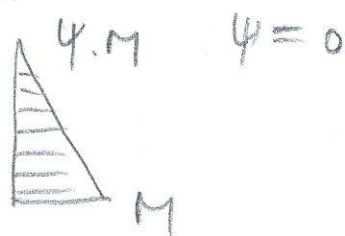
$$\lambda_y = \frac{1}{\Phi + \sqrt{\Phi^2 - \bar{\lambda}_y^2}} = \frac{1}{2,56 + \sqrt{2,56^2 - 1,938^2}} =$$

$$= 0,236$$

Interakční součinitel

$$k_{yy} = c_{my} \left(1 + 0,6 \bar{\lambda}_y \frac{N_{Ed}}{f_y \cdot N_{RK} / \gamma_{M1}} \right)$$

c_{my}



$$c_{my} = 0,6 + 0,4 \cdot \psi = 0,6$$

$$\geq 0,4$$

$$N_{RK} = f_y \cdot A = 355 \cdot 1,815 \cdot 10^4 = 6,443 \cdot 10^6 \text{ N}$$

$$\gamma_{M1} = 1,0$$

$$N_{Ed} = 1422 \cdot 10^3 \text{ N}$$



$$k_{yy} = 0,6 \left(1 + 0,6 \cdot 1,94 \cdot \frac{1422 \cdot 10^3}{6,443 \cdot 10^5 \cdot 0,236} \right) = 1,25$$

$$k_{zy} = 0,8 \cdot k_{yy} = 0,8 \cdot 1,25 = 1,0$$

$$k_{zz} = k_{yy}$$

$$k_{yz} = k_{zz}$$

Posouzení

$$1) \frac{1422 \cdot 10^3}{0,24 \cdot 6,443 \cdot 10^6} + 1,25 \cdot \frac{59,7 \cdot 10^6}{1 \cdot 355 \cdot 1,5712 \cdot 10^6} +$$

$$+ 1,25 \cdot \frac{12 \cdot 10^6}{1 \cdot 355 \cdot 1,5712 \cdot 10^6} =$$

$$= 0,92 + 0,13 + 0,03 = \underline{\underline{1,08 \approx 1,0}}$$

Průřez vyhovuje.

(pozn. - vzpětná délka odhadnutá
na bezpečné straně, ve skutečnosti
tude menší s ohledem na lavu
v levé poloze)



Posouzení tahel zdivu ($\phi 20$, zdvih 1120)

$$\frac{N_{Ed}}{N_{Rd}} \leq 1,0$$

$$N_{Rd} = \min \left\{ \frac{A \cdot f_{yk}}{\gamma_{m1}} ; \frac{0,9 \cdot A_s \cdot f_{uk}}{\gamma_{m2}} \right\}$$

$$A = 314 \text{ mm}^2$$

$$A_s = 245 \text{ mm}^2 \text{ (jádřo-)}$$

$$f_{yk} = 460 \text{ MPa}$$

$$f_{uk} = 625 \text{ MPa}$$

$$\gamma_{m1} = 1,10$$

$$\gamma_{m2} = 1,25$$

$$N_{Rd} = \min \left\{ \frac{314 \cdot 460}{1,10} ; \frac{0,9 \cdot 245 \cdot 625}{1,25} \right\}$$

$$N_{Rd} = \min \{ 131,3 ; 110,25 \} = \underline{110,3 \text{ kN}}$$

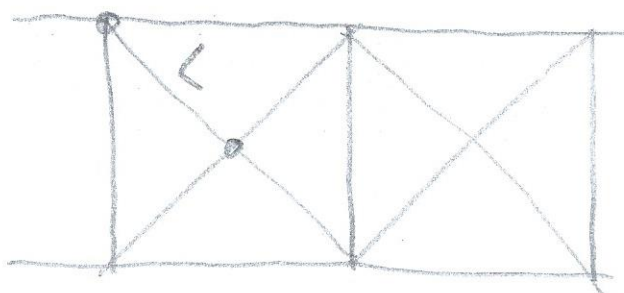
$$N_{Ed} = 36,4 \text{ kN} < 110,3 \text{ kN} = N_{Rd}$$



Posouzení rotorního zavětrování

$$N_{Ed} = -122,5 \text{ kN}$$

Schema



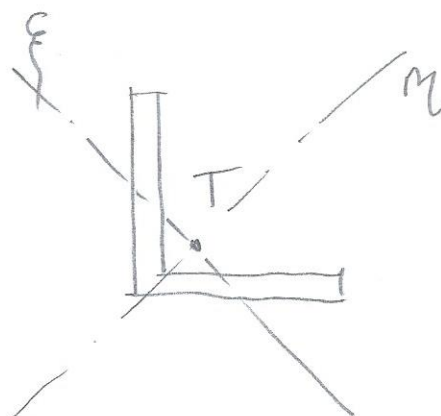
$$L = 1,70 \text{ m}$$

Profil : L 100 x 10 | ocel S235JR

$$A = 1920 \text{ mm}^2$$

třída prvků : 3

$$i_{\xi} = 19,6 \text{ mm}$$



$$L_{cr\xi} = 1,70 \text{ m}$$

$$\lambda_1 = 93,9$$

$$\lambda_{\xi} = \frac{L_{cr\xi}}{i_{\xi}} = \frac{1700}{19,6} = 86,7$$



$$\bar{\lambda}_F = \frac{\lambda_F}{\lambda_1} = \frac{86,7}{93,9} = 0,92$$

$$\alpha = 0,34 \text{ (křivka b)}$$

$$\Phi = 0,5 [1 + \alpha(\bar{\lambda} - 0,2) + \bar{\lambda}^2]$$

$$\Phi = 0,5 [1 + 0,34(0,92 - 0,2) + 0,92^2] = 1,046$$

$$\eta = \frac{1}{\Phi + \sqrt{\Phi^2 - \bar{\lambda}^2}} = \frac{1}{1,046 + \sqrt{1,046^2 - 0,92^2}} = 0,65$$

$$N_{b,Rd} = \frac{\eta \cdot A \cdot f_y}{\mu_{M1}}$$

$$\mu_{M1} = 1,0$$

$$f_y = 235 \text{ MPa}$$

$$N_{b,Rd} = \frac{0,65 \cdot 1920 \cdot 235}{1,0} = \underline{293,3 \text{ kN}}$$

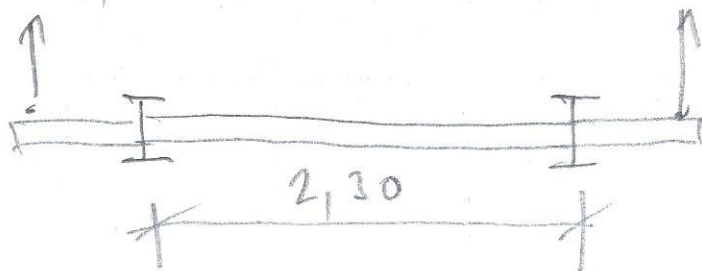
$$> 122,5 \text{ kN} = N_{Ed}$$

Prověz u konce!



Posouzení průřezu – vnitřní část

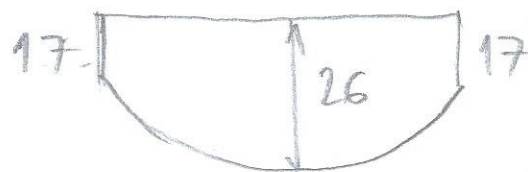
HEB 200 S 235 tr. prvek 1
 $W_{pl,y} = 643 \cdot 10^3 \text{ mm}^3$
 $W_{el,y} = 570 \cdot 10^3 \text{ mm}^3$
 $A = 7810 \text{ mm}^2$



$$N_{Ed} = -86 \text{ kN}$$

průběh momentu:

$$M_{y,Ed} = 26 \text{ kNm}$$



křivka klopení: b)

$$M_{cr} = 3127 \text{ kNm (LT Beam)}$$

$$\bar{\lambda}_{LT} = \sqrt{\frac{W_{y,Ed}}{M_{cr}}} = \sqrt{\frac{643 \cdot 10^3 \cdot 235}{3127 \cdot 10^6}} = 0,22$$

$$\alpha_{LT} = 0,34 \text{ (křivka b)}$$

$$\Phi_{LT} = 0,5 [1 + \alpha_{LT} (\bar{\lambda}_{LT} - 0,2) + \bar{\lambda}_{LT}^2] =$$

$$= 0,5 [1 + 0,34 (0,22 - 0,2) + 0,22^2] =$$

$$= 0,53$$

$$\delta_{LT} = \frac{1}{\Phi_{LT} + \sqrt{\Phi_{LT}^2 - \bar{\lambda}_{LT}^2}} = \frac{1}{0,53 + \sqrt{0,53^2 - 0,22^2}} =$$

$$= 0,99$$

cticm
ltbEAM

03-15-2019 09:15

VERSION 1.0.11

bEAM				
TOTAL LENGTH	l	=	2,3	M
NUMBER OF ELEMENTS	n	=	100	
sTEEL				
YOUNG MODULUS	e	=	210000	mpA
POISSON'S COEFFICIENT	N	=	0,3	
SHEAR MODULUS	g	=	80769	mpA
sECTION - iN cATALOGUE				
SELECTED pROFILE		=	heb 200	
WEAK FLEXURAL INERTIA	iZ	=	2003,4	CM4
TORSIONAL CONSTANT	iT	=	59,691	CM4
WARPING CONSTANT	iW	=	171413	CM6
WAGNER FACTOR	BZ	=	0	MM

LATERAL RESTRAINTS

LEFT eND				
POSITION OF rESTRAINT /s	Z	=	0	MM
LATERAL RESTRAINT	V	=	FIXED	
TORSIONAL RESTRAINT	Θ	=	FIXED	
FLEXURAL RESTRAINT	V'	=	FIXED	
WARPING RESTRAINT	$\Theta \chi$	=	FIXED	

RIGHT eND				
POSITION OF rESTRAINT /s	Z	=	0	MM
LATERAL RESTRAINT	V	=	FIXED	
TORSIONAL RESTRAINT	Θ	=	FIXED	
FLEXURAL RESTRAINT	V'	=	FIXED	
WARPING RESTRAINT	$\Theta \chi$	=	FIXED	

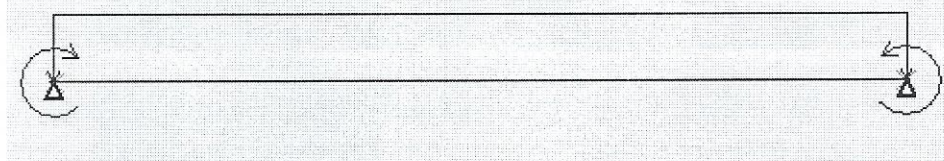
NO INTERMEDIATE LATERAL RESTRAINT

LOADING

SUPPORTS AT eNDS IN THE pLANE OF bENDING
HINGED AT BOTH ENDS

eXTERNAL eND mOMENTS				
LEFT END MOMENT	m1	=	-17	Kn.M
RIGHT END MOMENT	m2	=	17	Kn.M
END MOMENTS RATIO (-m1/m2)	Ψ	=	1,000	

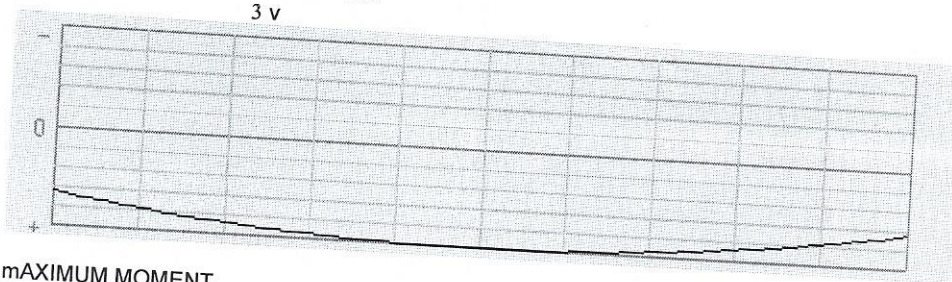
dISTRIBUTED LOAD				
VALUE AT THE ORIGIN	Q1	=	-14	Kn/M
VALUE AT THE END	Q2	=	-14	Kn/M
ABSCISSA/I AT THE ORIGIN	XF1	=	0	
ABSCISSA/I AT THE END	XF2	=	1	
POSITION /s	Z	=	0	MM

SKETCH OF APPLIED FORCES AND LATERAL RESTRAINT POSITIONS

BENDING AND SHEAR DIAGRAMS

3 m

3 v



mMAXIMUM MOMENT
aBSCISSA/I

mMAX = 26,258 Kn.M
XF = 0,500

cCRITICAL mOMENT

eIGENVALUE SOLVING

dICHOTOMIC PROCESS ON DETERMINANT
cONVERGENCE TOLERANCE
nUMBER OF ITERATIONS PERFORMED
cONVERGENCE ACHIEVED
eIGENVALUE OBTAINED

E = 0,0001
NIT = 21
M = 119,09

cCRITICAL mOMENT

cCRITICAL VALUE OF MAXIMUM MOMENT
aBSCISSA/I

mCR = 3126,9 Kn.M
XF = 0,500

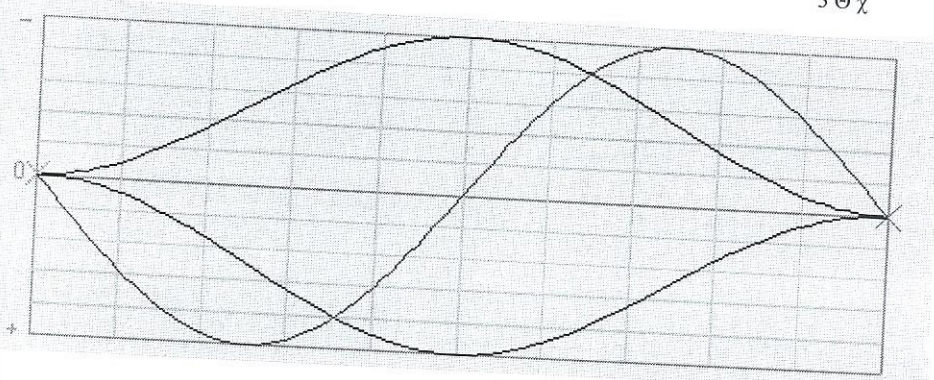
eIGENMODE

3 V

3 Θ

3 V'

3 Θ χ





Vzpetí zamedkávání

Posouzení :

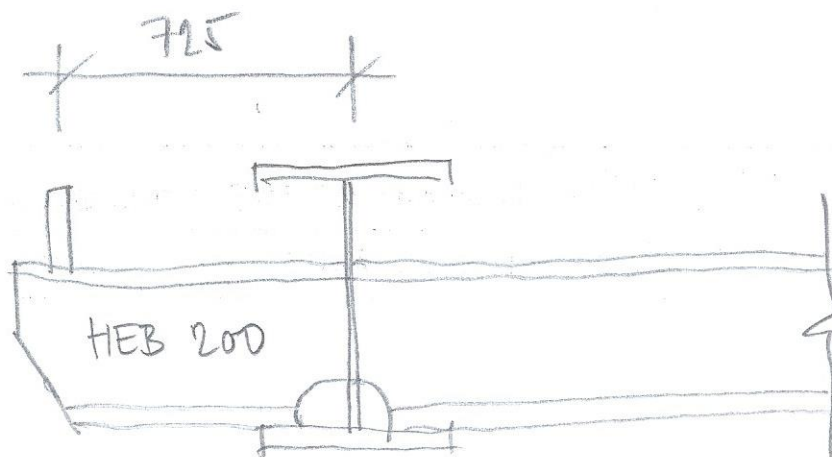
$$\frac{N_{Ed}}{N_{Ra}} + \frac{M_{y,Ed}}{M_{y,Ra}} \leq 1$$

$$\frac{+86000}{7810 \cdot 225} + \frac{26 \cdot 10^6}{0,99 \cdot 570 \cdot 10^3 \cdot 225} = 0,24 < 1,0$$



Posouzení konzoly přilepenku

Schema:



HEB 200, S235, +T.1

$$M_{z,Ed} = 24,8 \text{ kNm}$$

$$M_{y,Ed} = 6,5 \text{ kNm}$$



$$M_{y,Rd} = \sigma_{LT} \cdot W_{y,pl} \cdot \frac{f_y}{\gamma_{M1}}$$

$$f_y = 235 \text{ MPa}$$

$$\gamma_{M1} = 1,0$$

Posouzení klopem - program LT Beam
 určen pro konven. délky 1,0 m
 (min. délka rádu)

$$M_{cr} = 6326 \text{ kNm}$$

$$\bar{\lambda}_{LT} = \sqrt{\frac{W_{y,pl} \cdot f_y}{M_{cr}}} = \sqrt{\frac{6,42 \cdot 10^5 \cdot 235}{6326 \cdot 10^8}} = 0,15$$

$$\alpha_{LT} = 0,34$$

$$\Phi_{LT} = 0,5 [1 + \alpha_{LT} (\bar{\lambda}_{LT} - 0,2) + \bar{\lambda}_{LT}^2] =$$

$$= 0,5 [1 + 0,34 (0,15 - 0,2) + 0,15^2] = \underline{0,5}$$

$$\sigma_{LT} = \frac{1}{0,5 + \sqrt{0,5^2 - 0,15^2}} = 1,02 > 1$$

klopem neroztahuje

$$M_{y,Rd} = \frac{W_{y,pl} \cdot f_y}{\gamma_{M0}} = \frac{6,42 \cdot 10^5 \cdot 235}{1} = 1,51 \cdot 10^8 =$$

$$= \underline{151 \text{ kNm}}$$

$$> \underline{6,5 \text{ kNm}}$$



Posouzení konzol - max M_2

$$M_{2,ed} = 24,8 \text{ kNm}$$

$$M_{y,ed} = 6,5 \text{ kNm}$$

$$W_{pl,z} = 3,7 \cdot 10^5 \text{ mm}^3$$

$$M_{y,Rd} = \sigma_{ct} \cdot W_{y,pl} \cdot \frac{f_x}{\gamma_{m1}} =$$

$$= \frac{1 \cdot 6,42 \cdot 10^5 \cdot 235}{1} = \underline{151 \text{ kNm}}$$

$$M_{2,Rd} = W_{z,pl} \cdot \frac{f_x}{\gamma_{m1}} =$$

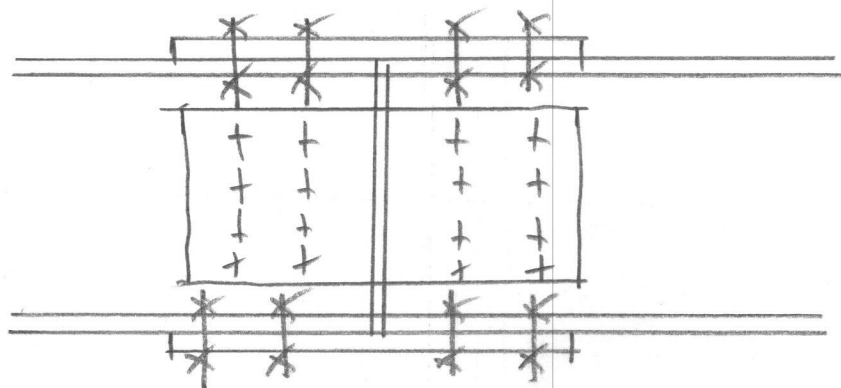
$$= \frac{3,7 \cdot 10^5 \cdot 235}{1} = \underline{72,9 \text{ kNm}}$$

$$\frac{M_{y,ed}}{M_{y,Rd}} + \frac{M_{2,ed}}{M_{2,Rd}} \leq 1$$

$$\frac{6,5}{151} + \frac{24,8}{72,9} = \underline{0,38 < 1}$$

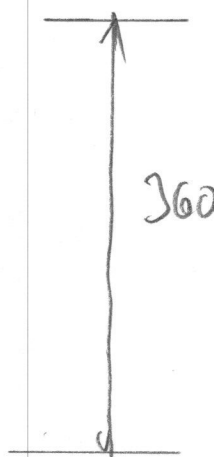
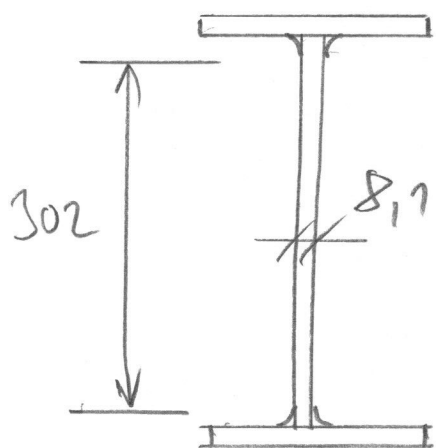


Montážní schéma podélníku



$$N_{Ed} = -247 \text{ kN}$$

$$M_{y,Ed} = 206 \text{ kNm}$$



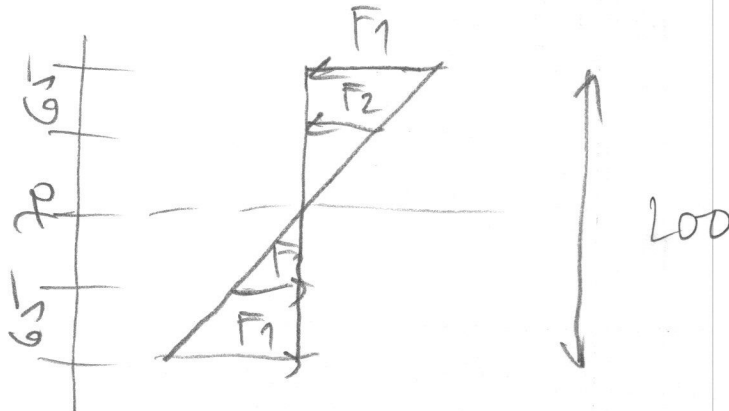
Moment ve středě:

$$M_{w,Ed} = w_{el} \cdot \frac{f_y}{\gamma_a} \cdot \frac{302}{360} =$$

$$= \frac{1}{6} \cdot 8,7 \cdot 302^2 \cdot \frac{235}{\gamma} \cdot \frac{302}{360} = \underline{\underline{24,3 \text{ kNm}}}$$



Rozdělení síl na struny:



$$\frac{F_1}{135} = \frac{F_2}{70} \Rightarrow F_2 = \frac{70}{135} F_1 = 0,52 F_1$$

$$F_1 \cdot 200 + F_2 \cdot 70 = M$$

$$0,2 F_1 + 0,0364 F_1 = M \Rightarrow F_1 = 103 \text{ kN}$$

$$F_2 = 54 \text{ kN}$$

struny M20, 10.9 $\left\{ \begin{array}{l} F_{t,Rd} = 302 \text{ kN} \\ \quad \quad \quad (2 \text{ plochy}) \end{array} \right.$

$$F_{b,Rd} = 88,4 \text{ kN} \\ (\epsilon = 8 \text{ mm}) \\ S 235$$

Navrž 2 sloupce stouby.

$$F_{sd} = 103 \text{ kN} < 2 \cdot 88,4 = 177 \text{ kN}$$



Síla v pažnicích od dyb. momentu:

$$F_{sd} = \frac{206 - 24}{0,247} = 525 \text{ kN}$$

4 čtverce 1720 10.9 ve 2 řadách

$$M_{20, 10.9} \begin{cases} F_{V,Rd} = 151 \text{ kN (1 torika)} \\ F_{L,Rd} = 232 \text{ kN} \end{cases}$$

$$F_{sd,1} = \frac{525}{4} = 131 \text{ kN} < 151 \text{ kN}$$

Vliv podélné síly:

$$N_{pds} = 247 \cdot \frac{(7270 - 302 \cdot 8,1)}{2} = 82 \text{ kN}$$

7270

Síla na 1 stranu:

$$F_{sd,1} = 131 + \frac{82}{4} = 151 \text{ kN} = 151 \text{ kN}$$

$= F_{L,Rd}$



Posouzení podílníku

podílník – profil IPE 360, S 235JR

třída průřezu: ohb: tří. 1

tlak: tří. 2

$$A = 7270 \text{ mm}^2$$

$$i_z = 379 \text{ mm}$$

$$W_{y,pl} = 1,02 \cdot 10^6 \text{ mm}^3$$

Návrhové hodnoty síle

$$① N_{Ed} = -952 \text{ kN}$$

$$② N_{Ed} = -247 \text{ kN} \quad M_{y,Ed} = 206 \text{ kNm}$$

Vzpetková délka pro výpočet uvažují
jako u přehradových konstrukcí –

– t.zn. pro pásové prvky jako systémovou
délku prvku mezi stěpny (L_{cr} = 2,5m)

Version 1.0.11

Beam

Total length	L	=	2,5	m
Number of elements	N	=	100	

Steel

Young modulus	E	=	210000	MPa
Poisson's coefficient	ν	=	0,3	
Shear modulus	G	=	80769	MPa

Section - In Catalogue

Selected Profile		=	IPE 360	
Weak flexural inertia	I_z	=	1043,5	cm ⁴
Torsional constant	I_t	=	37,091	cm ⁴
Warping constant	I_w	=	314646	cm ⁶
Wagner factor	β_z	=	0	mm

Lateral Restraints

Left End

Position of Restraint /S	z	=	0	mm
Lateral restraint	v	=	Fixed	
Torsional restraint	θ	=	Fixed	
Flexural restraint	v'	=	Fixed	
Warping restraint	$\theta \chi$	=	Fixed	

Right End

Position of Restraint /S	z	=	0	mm
Lateral restraint	v	=	Fixed	
Torsional restraint	θ	=	Fixed	
Flexural restraint	v'	=	Fixed	
Warping restraint	$\theta \chi$	=	Free	

No intermediate lateral restraint

Loading

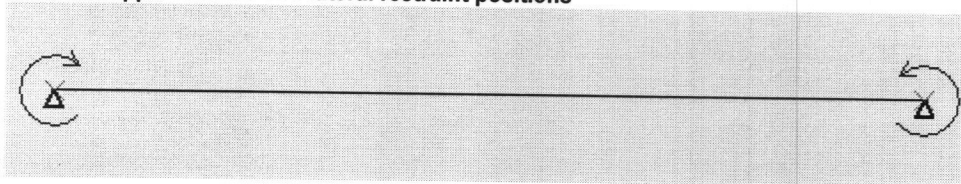
Supports at Ends in the Plane of Bending

Hinged at both ends

External End Moments

Left end moment	M1	=	-204	kN.m
Right end moment	M2	=	204	kN.m
End moments ratio (-M1/M2)	ψ	=	1,000	

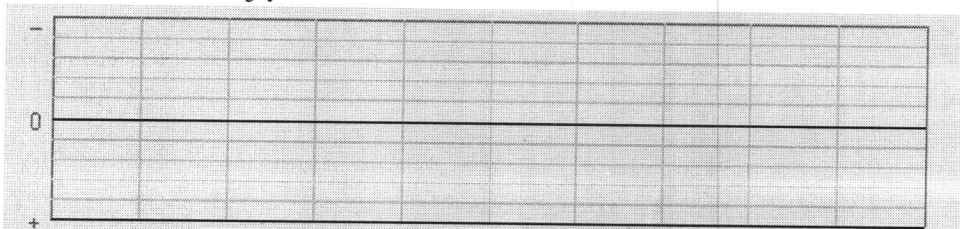
Sketch of applied forces and lateral restraint positions



Bending and shear diagrams

3 M

3 V



Maximum moment	Mmax	=	204	kN.m
Abscissa/L	xf	=	0,000	

Critical Moment

Eigenvalue solving

Dichotomic process on determinant				
Convergence tolerance	ϵ	=	0,0001	
Number of iterations performed	nit	=	16	
Convergence achieved				
Eigenvalue obtained	μ	=	9,9908	

Critical Moment

Critical value of maximum moment
Abcissa/L

M_{cr} = 2038,1 kN.m
 x_f = 0,000

7/24

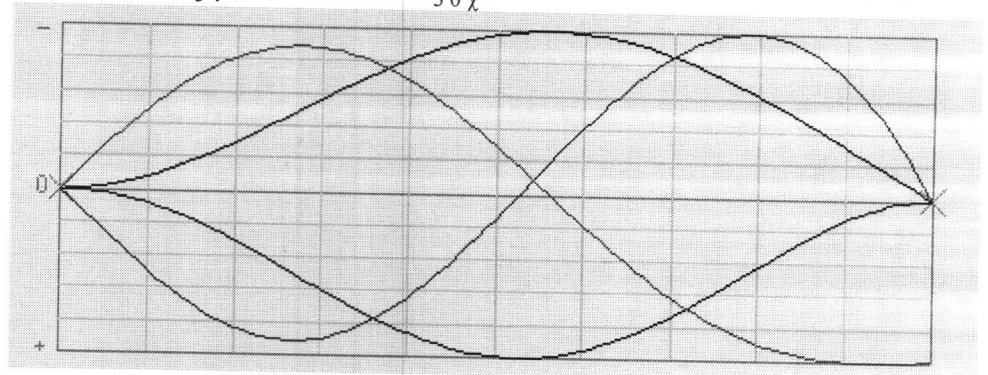
Eigenmode

3 v

3 θ

3 v'

3 $\theta \chi$





vzper k ose 2:

$$\bar{\lambda} = \frac{l_{cr}}{i} \cdot \frac{1}{\lambda_1} \quad l_{cr} = 2,5 \text{ m}$$

$$\lambda_1 = 93,9 \cdot \varepsilon \quad \varepsilon = \sqrt{\frac{235}{f_y}} = 1$$

$$\lambda_1 = 93,9$$

$$\bar{\lambda} = \frac{2500}{38} \cdot \frac{1}{93,9} = 0,7 \quad \alpha = 0,34 \text{ (tab. b)}$$

$$\Phi = 0,5(1 + \alpha(\bar{\lambda} - 0,2) + \bar{\lambda}^2)$$

$$\Phi = 0,5(1 + 0,34(0,7 - 0,2) + 0,7^2)$$

$$\Phi = 0,83$$

$$\chi = \frac{1}{\Phi + \sqrt{\Phi^2 - \bar{\lambda}^2}} = \frac{1}{0,83 + \sqrt{0,83^2 - 0,7^2}} = 0,78$$

①

$$N_{b,Rd} = \frac{\chi \cdot A \cdot f_y}{\gamma_{M1}} = \frac{0,78 \cdot 7270 \cdot 235}{1} =$$

$$= 1332 \text{ kN}$$

$$> 952 \text{ kN}$$



$$② \quad M_{cr} = 2038 \text{ kNm}$$

$$\bar{\lambda}_{LT} = \sqrt{\frac{w_{pl} \cdot A_k}{M_{cr}}} = \sqrt{\frac{1,02 \cdot 10^6 \cdot 235}{2038 \cdot 10^6}} = 0,34$$

$$\Phi_{LT} = 0,5 \left(1 + \alpha_{LT} (\bar{\lambda}_{LT} - \bar{\lambda}_{LT,0}) + \beta \cdot \bar{\lambda}_{LT}^2 \right)$$

$$\lambda_{LT,0} = 0,4 \quad \beta = 0,75$$

$$\alpha_{LT} = 0,49 \text{ (kř. c.)}$$

$$\Phi_{LT} = 0,5 \left(1 + 0,49 (0,34 - 0,4) + 0,75 \cdot 0,34^2 \right)$$

$$\Phi_{LT} = 0,53$$

$$\chi_{LT} = \frac{1}{\Phi_{LT} + \sqrt{\Phi_{LT}^2 - \beta \cdot \bar{\lambda}_{LT}^2}} =$$

$$= \frac{1}{0,53 + \sqrt{0,53^2 - 0,75 \cdot 0,34^2}} = 1,03$$

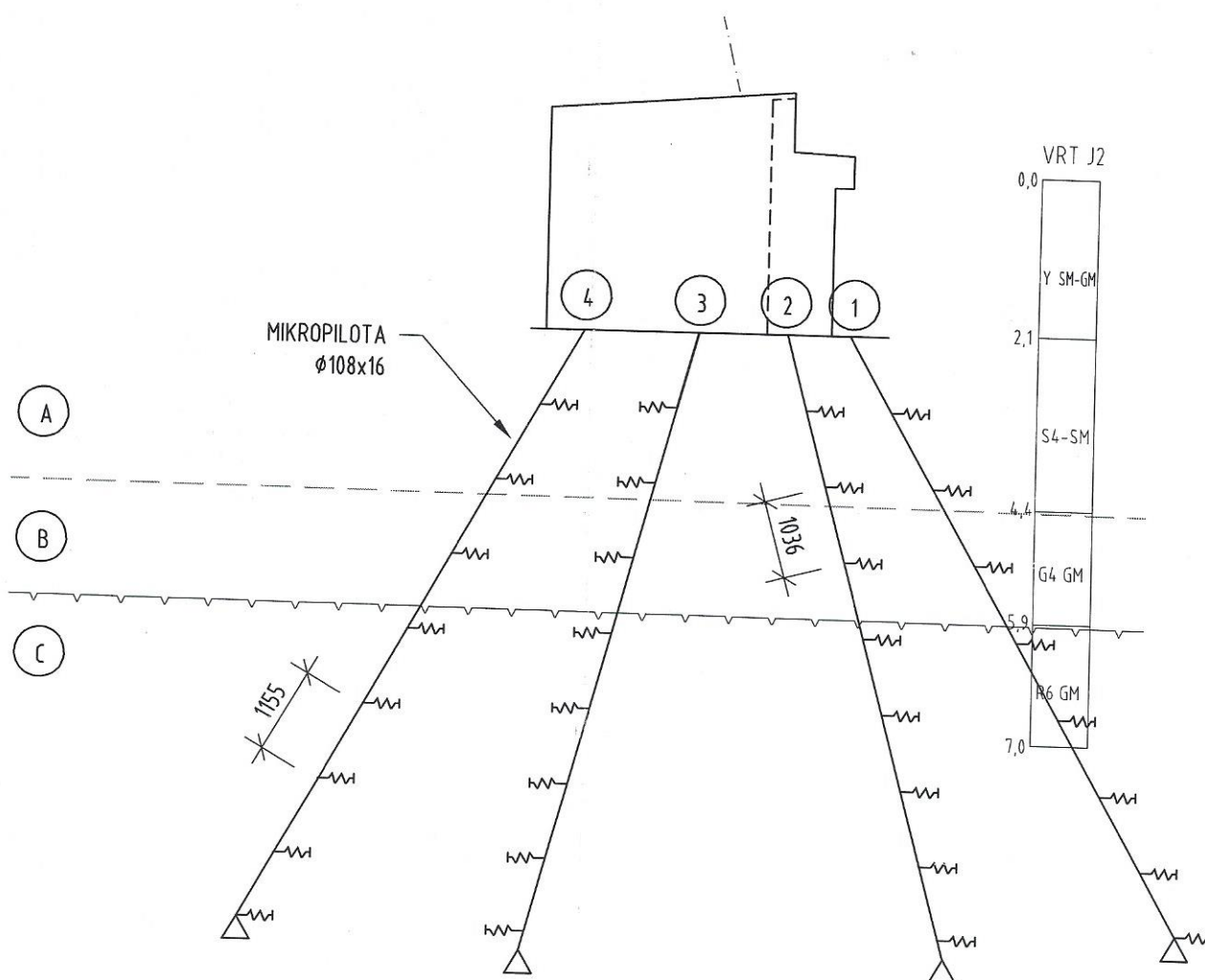
$$\Rightarrow \chi_{LT} = 1,0$$

$$M_{L,rd} = \chi_{LT} \cdot \frac{f_d \cdot w_{pl,e}}{\gamma_{M1}} = 1 \cdot \frac{235 \cdot 1,02 \cdot 10^6}{1} = 240 \text{ kNm} > 206 \text{ kNm}$$

M+N :

$$\frac{N_{Ed}}{N_{L,rd}} + \frac{M_{d,Ed}}{M_{L,rd}} \leq 1,0$$

$$\frac{247}{1332} + \frac{206}{240} = 1,07 \approx 1,0$$



Tabulka 4. Orientační geotechnické charakteristiky zastižených základových půd

Základová půda dle ČSN 73 1001	v	β	γ [kN.m ⁻³]	E_{def} [MPa]	c_{ef} [kPa]	ϕ_{ef} [°]	m	R_{dt} [kPa]
Navážky Y (SM)	-	-	-	-	-	-	-	100-150
Holocénní náplavy S4	0,35	0,62	18,0	5	0-10	28-30	-	100-175
Kvartérní štěrkovité zeminy G3, G4	0,30	0,74	19,0-19,5	60-80	0-8	30-35	0,3	250
Rozložené žuly (R6) S-F, GM	0,35-0,40	-	18,1-18,5	12-15	-	-	0,4	175-250

Vtčení modulu horizontální tuhosti

Winkler: $\tau_2 = k_{h2} \cdot u_2$

u_2 – vodorovná def.

k_{h2} – modul reakce podkladu

Pro kruhověsymetrický:

$$k_{h2} = \frac{z}{d} \cdot k_h$$

d ... průměr pilvy
 z ... hl. pod klenem
 k_h ... konst.

Hodnoty k_h [MN/m³]

Ulehlost I_d	0,33	0,5	0,9
suchý písek a štěr	1,5	7,0	18,0
vlhký písek a štěr	2,5	9,5	17,0

Pro jímrozměrný a polokulovitý:

$$k_{h2} = \frac{E_{def}}{d}$$

d ... průměr pilvy

Vrstva A: $k_{h2} = \frac{E_{def}}{d} = \frac{5}{0,2} = \underline{25 \text{ MN/m}^3}$

Vrstva B: $k_{h2} = \frac{z}{d} \cdot k_h$ $k_h = 17,0$

$z = 3,70 \text{ m (střed vrstvy)}$

$$k_{h2} = \frac{3,70}{0,2} \cdot 17 = \underline{209 \text{ MN/m}^3}$$

Vrstva C: $k_{h2} = \frac{E_{def}}{d} = \frac{15}{0,2} = \underline{75 \text{ MN/m}^3}$

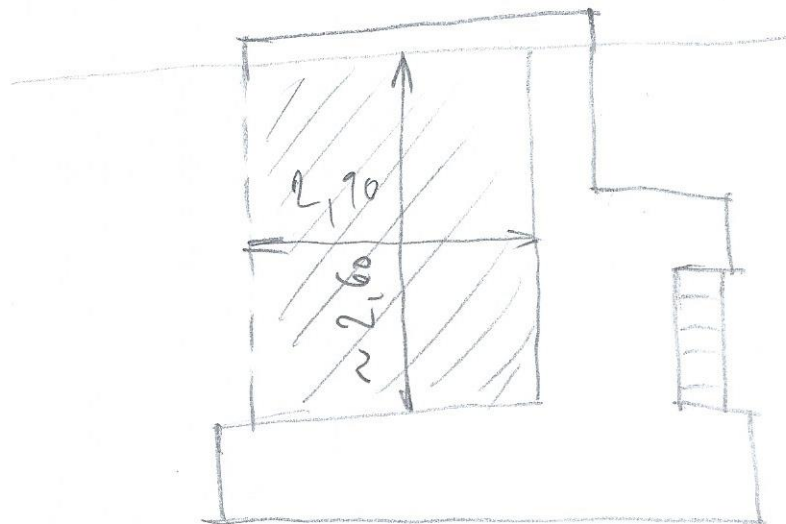
Pilota	Bod	d [m]	khz [MN/m3]	h [m]	kz [MN/m]
1,4	1	0,2	25	1,155	6
	2	0,2	25	1,155	6
	3	0,2	204	1,155	47
	4	0,2	75	1,155	17
	5	0,2	75	1,155	17
	6	0,2	75	1,155	17
	7	0,2	75	1,155	17
	8	0,2	75	1,155	17

Pilota	Bod	d [m]	khz [MN/m3]	h [m]	kz [MN/m]
2,3	1	0,2	25	1,036	5
	2	0,2	25	1,036	5
	3	0,2	204	1,036	42
	4	0,2	75	1,036	16
	5	0,2	75	1,036	16
	6	0,2	75	1,036	16
	7	0,2	75	1,036	16
	8	0,2	75	1,036	16



Zatížení tíhou zeminy

Schema - podélný řez



Podpory





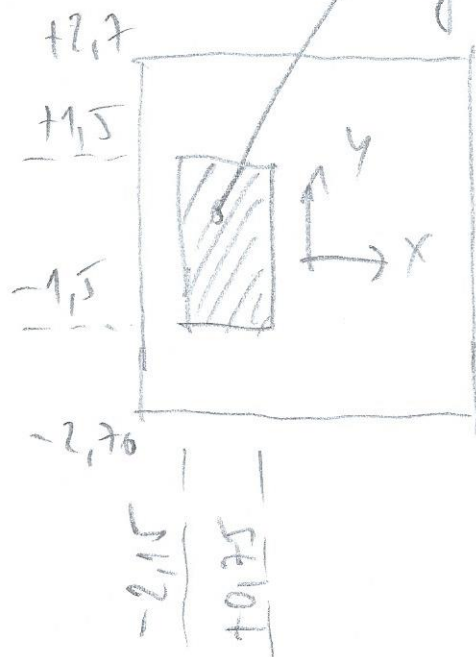
Tíha zeminy mezi křídly:

$$\mu_2 = 18,5 \text{ kN/m}^3$$

$$G_2 = 2,9 \cdot 2,6 \cdot 3 \cdot 18,5 = \underline{419 \text{ kN}}$$

Zatížení přecumvazlahto ráhla dnu
zanedba dnu

$$q = \frac{419}{2 \cdot 2,90} = 48 \text{ kN/m}^2$$





Návrhové hodnoty vnitřních sil

Vnitřní síly na prutu(ech). Globální extrém

Lineární statický - nebezpečné nebo všechny kombinace

Skupina prutů :1/187

Skupina kombinací na únosnost :3/4

prut	pr.č.	kombi	dx [m]	N [kN]	Vy [kN]	Vz [kN]	Mx [kNm]	My [kNm]	Mz [kNm]
9	2	4	0.000	-395.64	-0.05	7.59	-0.00	-5.29	0.05
170		3		-88.75	-0.02	-7.46	-0.00	6.14	0.02
9				-277.48	-0.03	8.71	-0.00	-7.01	0.02



Vnější ulhostost mikropiloty

průměr vřtu : 240 mm

(aby bylo dodrženo křiví 10 mm ve
s křivě agresivním prostředí)

Vrazení podle ulhostost na plešti

plešťové tření $\tau_i \approx 0,2 \text{ MPa}$

(R6, p'se le'stehy)

$$U_{ms,d} = \pi \cdot d \cdot \sum L_{ti} \cdot \tau_i \cdot m_2$$

$$L_t = 4,0 \text{ m}$$

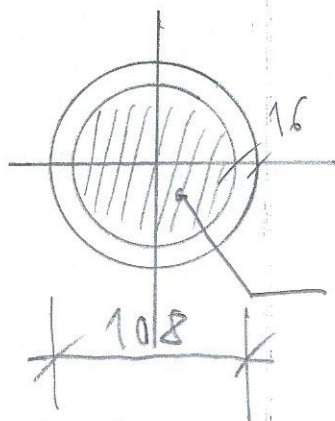
$$m_2 = \begin{cases} 1,0 & (\text{tlak}) \\ 0,8 & (\text{tah}) \end{cases}$$

$$\begin{aligned} U_{ms,d} &= \pi \cdot 240 \cdot 4000 \cdot 0,2 \cdot 1,0 = \\ &= \underline{\underline{603 \text{ kN} > 396 \text{ kN} = N_{Ed}}} \end{aligned}$$



Vnitřní ukořet průměr - osou tlak

Vrazení prutu beton (základu) uvnitř trubky



základ C25/30
(ekvivalent)

Průměrné hodnoty:

$$A_a = 4580 \text{ mm}^2$$

$$A_c = 4536 \text{ mm}^2$$

$$I_a = 5,028 \cdot 10^6 \text{ mm}^4$$

$$I_c = 1,638 \cdot 10^6 \text{ mm}^4$$

$$f_{yd} = \frac{f_g}{\gamma_a} = \frac{235}{1,0} = 235 \text{ MPa}$$

$$f_{cd} = \frac{f_{ck}}{\gamma_c} = \frac{25}{1,5} = 16,7 \text{ MPa}$$

Návrhová ukořet spaz. průměr:

$$N_{pl,Rd} = A_a f_{yd} + A_c f_{cd} =$$

$$= 4580 \cdot 235 + 4536 \cdot 16,7 = \underline{1152 \text{ kN}}$$

Charakteristická ukořet:

$$N_{pl,Rk} = A_a f_y + A_c \cdot f_{ck} =$$

$$= 4580 \cdot 235 + 4536 \cdot 25 = 1190 \text{ kN}$$



Ohybová tuhost:

$$\begin{aligned}(EI)_c &= E_a \cdot I_a + 0,85 E_{cm} / \eta_c \cdot I_c = \\ &= 270000 \cdot 5,028 \cdot 10^6 + 0,85 \cdot 30500 / 1,5 \cdot \\ &\quad \cdot 1,638 \cdot 10^6 = 1,084 \cdot 10^{12} \text{ Nm}^2\end{aligned}$$

$$N_{cr} = 2 \cdot ((EI)_c \cdot E_2)^{1/2}$$

kde E_2 ... modul deformace

$$E_{2, \text{mean}} = (5 \cdot 2 + 70 \cdot 2 + 5 \cdot 12) / 9 = 23,3 \text{ MPa}$$

$$\begin{aligned}N_{cr} &= 2 \cdot (1,084 \cdot 10^{12} \cdot 23,3)^{1/2} = \underline{10057 \text{ kN}} \\ &>> 1152 \text{ kN}\end{aligned}$$

Vzpetí nerozhoduje.



Posouzení ohybových účinků

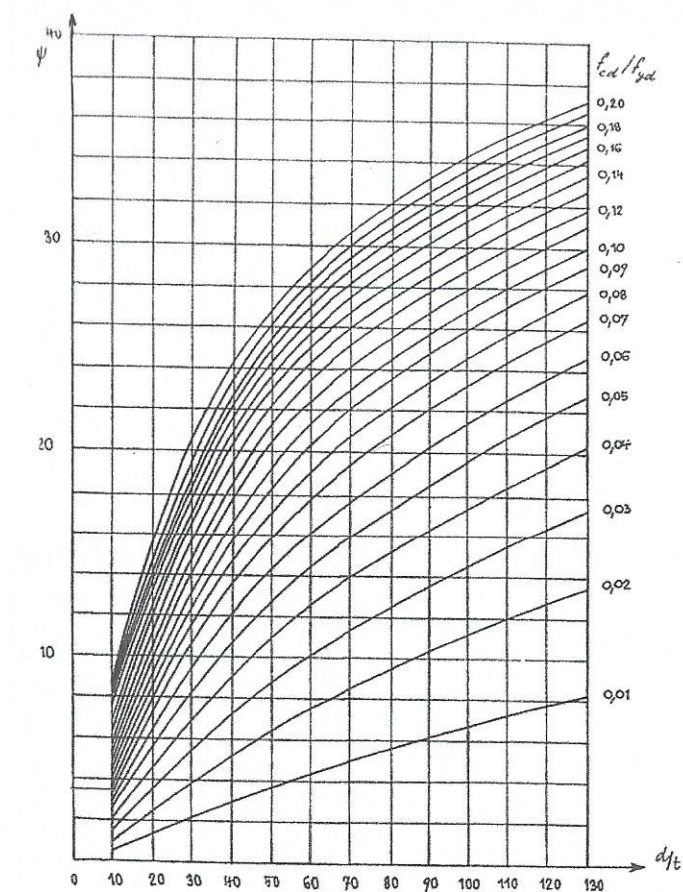
$$M_{Ed} = 7 \text{ kNm}$$

$$W_{pl,a} = 1,348 \cdot 10^5 \text{ mm}^3$$

$$M_{pl,Rd} = W_{pl,a} \cdot f_{yd} (1 + 0,014)$$

ψ odečtu z grafu pro $\frac{f_{cd}}{f_{yd}} = \frac{16,7}{235} = 0,07$

$$\frac{d}{t} = \frac{108}{16} = 6,75$$



$$\psi = 3,2$$

$$M_{pl,Rd} = 1,348 \cdot 10^5 \cdot 235 (1 + 0,01 \cdot 3,2) = \underline{\underline{32,6 \text{ kNm}}}$$



Posouzení interakce tlaku a ohybu

$$\frac{M_{Ed}}{\sigma_d \cdot M_{pl,Rd}} \leq \alpha_M$$

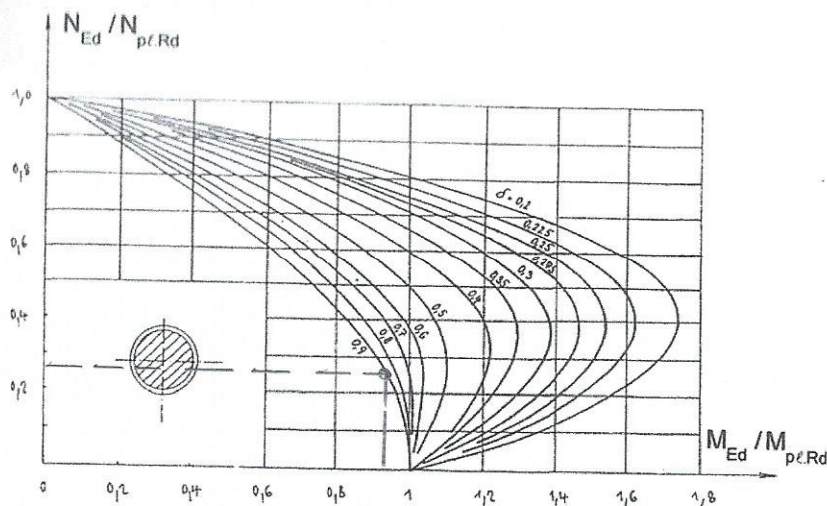
M_d odečten z grafu pro

$$\sigma = A_a f_{yd} / N_{pl,Rd} =$$

$$= 4580 \cdot 235 / 1152 \cdot 1000 = 0,937$$

$$a \quad \frac{N_{Ed}}{N_{pl,Rd}} = \frac{277}{1152} = 0,24$$

$$M_{Ed} / M_d \cdot M_{pl,Rd} \leq \alpha_M$$



$$M_d = 0,9$$

$$\frac{M_{Ed}}{M_d \cdot M_{pl,Rd}} = \frac{7}{0,9 \cdot 32,6} = 0,24 < \alpha_M = 0,9$$

$$N_{Ed} = 277 < 1152 kN = N_{pl,Rd}$$

Posouzení kotvinových kotev

Podklady:

[1] Závěrečná zpráva IG průzkumů
(Mgr. M. Štefík)[2] Navrhování zákl. a pažnicích
konstrukcí, příručka k ČSN EN 1997
(J. Masopust, edice ČKAIT)Použijí se pramencové koty
z oceli 1550/1770 MPa – 4 pramencové

Základní parametry pramencových kotev pro ocel 1570/1770 MPa

počet pramenců	průřezová plocha A [mm ²]		zatížení na mezi kluzu $P_{0,1k} = A \cdot f_{0,1k}$ [kN]		zatížení na mezi pevnosti $P_{1k} = A \cdot f_{1k}$ [kN]		kotevní síla $P_0 \leq 0,6 P_{1k}$ [kN]		hmotnost pramenců [kg/m]		doporučený průměr vrtu [mm]
	0,60" (140 mm ²)	0,62" (150 mm ²)	0,60" (140 mm ²)	0,62" (150 mm ²)	0,60" (140 mm ²)	0,62" (150 mm ²)	0,60" (140 mm ²)	0,62" (150 mm ²)	0,60" (140 mm ²)	0,62" (150 mm ²)	
2	280	300	440	471	496	531	297	319	2,20	2,36	90 - 120
3	420	450	659	707	743	797	446	478	3,30	3,54	
4	560	600	879	942	991	1062	595	637	4,40	4,72	
5	700	750	1099	1178	1239	1328	743	797	5,50	5,90	105-140
6	840	900	1319	1413	1487	1593	892	956	6,60	7,08	
7	980	1050	1539	1649	1735	1859	1041	1115	7,70	8,26	
8	1120	1200	1758	1884	1982	2124	1189	1274	8,80	9,44	130-150
9	1260	1350	1978	2120	2230	2390	1338	1434	9,90	10,62	
10	1400	1500	2198	2355	2478	2655	1487	1593	11,00	11,80	
12	1680	1800	2638	2826	2974	3186	1784	1912	13,20	14,16	150-195
15	2100	2250	3297	3533	3717	3983	2230	2390	16,50	17,70	
19	2660	2850	4176	4475	4708	5045	2825	3027	20,90	22,42	
22	3080	3300	4836	5181	5452	5841	3271	3505	24,20	25,96	



Stanovení návrhové únosnosti kotvy

a) Návrhová únosnost kotvy proti vytažení

$$R_{a,d} = R_{a,k} / \gamma_a$$

$$\gamma_a = 1,1 \text{ (pro soubor } R_k \text{)}$$

$$R_{a,k} = \pi \cdot d \cdot L_k \cdot \tau_i$$

d ... průměr vrtlu

L_k ... délka kotve

τ_i ... charakteristická hodnota plášťového tření

Tab. 12 Charakteristické velikosti plášťového tření kořenů kotev

Druh základové půdy	Typické vlastnosti	Počet injektáží	Konečný injektážní tlak [MPa]	Plášťové tření τ_i [MPa]
skalní horniny R1 – R4	$\sigma_f > 50 \text{ MPa}$	0	–	0,6 – 1,0
poloskalní horniny R5, R6	$\sigma_f < 50 \text{ MPa}$	0 – 1	0,5 – 3,0	0,2 – 0,6
štěrky písčité	$35^\circ < \varphi < 45^\circ, c = 0$	1 – 2	1,0 – 2,0	0,15 – 0,20
štěrky jílovité	$25^\circ < \varphi < 35^\circ, c = 10$	1 – 2	2,0 – 4,0	0,15
písky	$25^\circ < \varphi < 35^\circ, c = 0$	2 – 3	1,5 – 4,0	0,1 – 0,15
soudržné zeminy tvrdé	$10^\circ < \varphi_u < 30^\circ$ $c_u > 0,1 \text{ MPa}$	1 – 3	1,5 – 3,0	0,08 – 0,14
soudržné zeminy pevné	$\varphi_u < 100$ $0,05 < c_u < 0,15 \text{ MPa}$	2 – 3	1,0 – 2,5	0,06 – 0,08
soudržné zeminy tuhé	$\varphi_u = 0$ $0,025 < c_u < 0,05 \text{ MPa}$	3 – (4)	0,5 – 2,0	0,04 – 0,06

$d \approx 0,156 \text{ m}$ (viz [2], tab. 5, pro trvale kory a nesoudržné zeminy)

$$L_k = 8,0 \text{ m}$$



pldřtore' trm' $\tau_i = 0,2 \text{ MPa}$
 (tab. 12, horní R5, R6)

$$R_{a,k} = \tau \cdot 0,156 \cdot 8 \cdot 200 = 784 \text{ kN}$$

$$R_{a,d} = R_{a,k} / 1,1 = \underline{713 \text{ kN}}$$

b) konstrukcí uhoerost koty

$$P_{tk} = A \cdot f_{tk} = 600 \cdot 1770 = 1062 \text{ kN}$$

Ndrhod konstrukcí uhoerost :

$$R_{ad} = P_{tk} / 1,35 = 1062 / 1,35 = \underline{786 \text{ kN}}$$

Rozhoduje menší z hodnot a), b) :

$$\underline{R_{ad} = 713 \text{ kN}}$$

Údaje pro napínání

$$\text{zaručená síla } P_0 = 630 \text{ kN} < 0,6 P_{tk} = 637 \text{ kN}$$

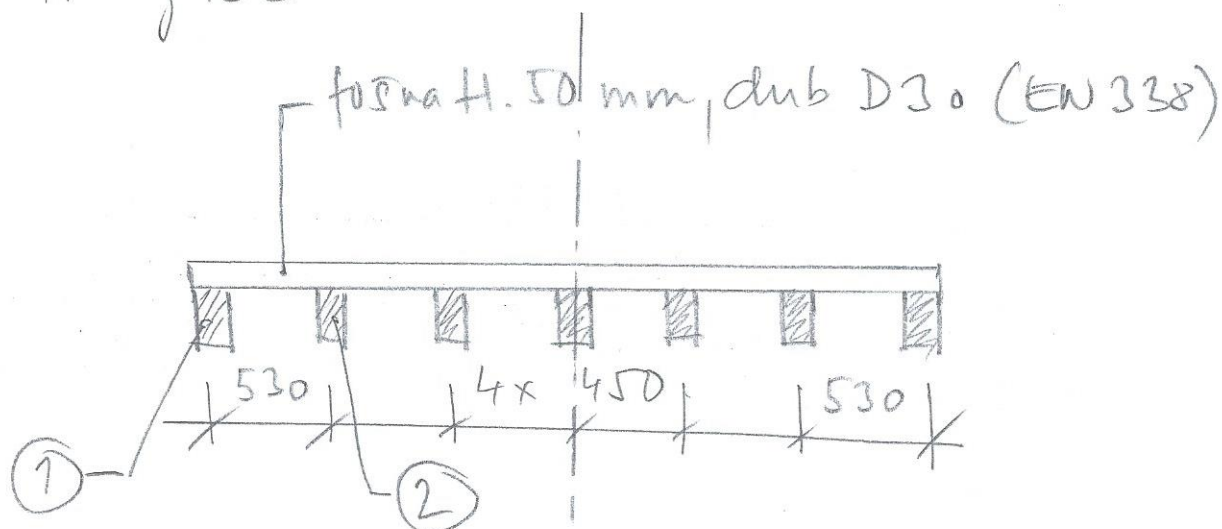
$$\text{zkušební síla } P_p = 1,25 \cdot P_0 = \underline{788 \text{ kN}}$$

$$(P_p > R_{ad} = 713 \text{ kN})$$



Posouzení dřevěných prvků mostovky

Přelový těr



Podélníky

① 140 x 200, modřín, C24 (EN 338)

② 140 x 180, — u —

$$f_{m,k} = 24 \text{ MPa}$$

$$f_{v,k} = 2,5 \text{ MPa}$$

$$\rho_{mean} = 420 \text{ kg/m}^3$$

Návrhové hodnoty pevnosti

$$k_{mod} = 0,7 \text{ (krátkodobé zat., třída proužku 3)}$$

$$\gamma_M = 1,3$$

$$f_{m,d} = k_{mod} \cdot \frac{f_{m,k}}{\gamma_M} = 0,7 \cdot \frac{24}{1,3} = \underline{\underline{12,7 \text{ MPa}}}$$



$$f_{v,d} = k_{mod} \cdot \frac{f_{v,k}}{\gamma_M} = 0,7 \cdot \frac{2,5}{1,3} = \underline{1,35 \text{ MPa}}$$

Průměrné charakteristiky

vnitřní podélných

$$A = 140 \cdot 180 = 25\,200 \text{ mm}^2$$

$$W_y = \frac{1}{6} \cdot 140 \cdot 180^2 = 756\,000 \text{ mm}^3$$

fošna (mostina)

$$\boxed{\text{hatched rectangle}} \quad 60$$

$$\sim 150$$

$$A = 60 \cdot 150 = 9\,000 \text{ mm}^2$$

$$W_y = \frac{1}{6} \cdot 150 \cdot 60^2 = 90\,000 \text{ mm}^3$$

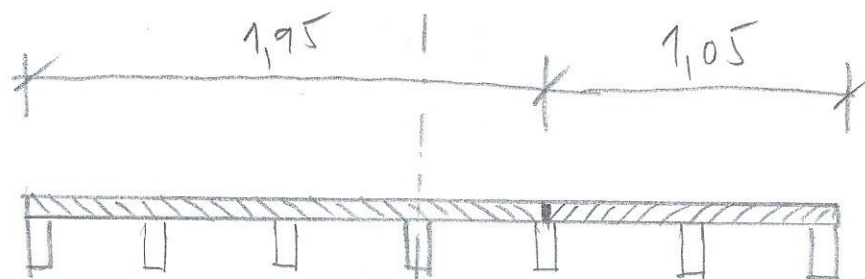
Návrhové hodnoty pernosli - dub D 30

$$k_{mod} = 0,7$$

$$f_{m,d} = 0,7 \cdot \frac{30}{1,3} = \underline{16,15 \text{ MPa}}$$

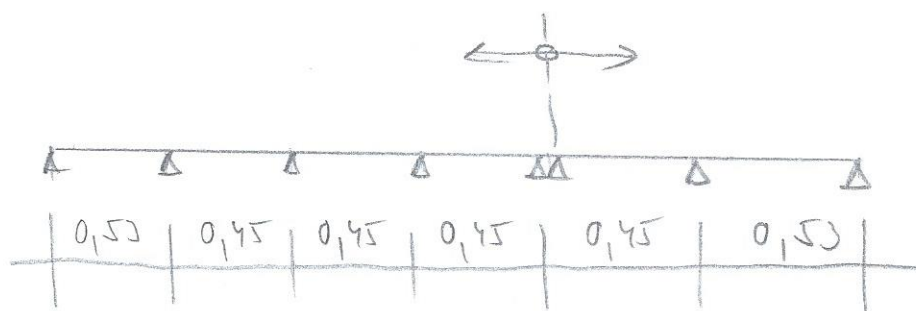
$$f_{v,d} = 0,7 \cdot \frac{3}{1,3} = \underline{1,62 \text{ MPa}}$$

Posouzení mostků

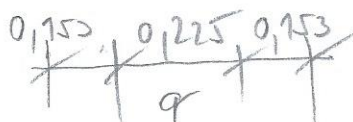


Vrátit mostky délky 1,95 a 1,05, styl
ystrádan

Statické schéma



Posoudit „kratší“ mostky



Zatížení q od jednoho kola radu na prah :

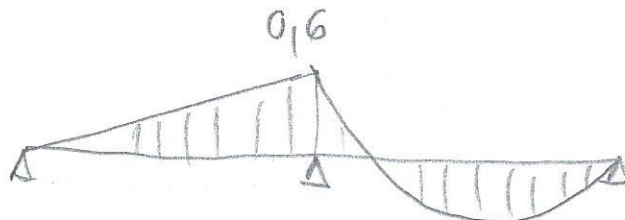
$$q = \frac{22,5}{2} \cdot \frac{1}{0,225} = 50 \text{ kN/m}$$

Předpokládám průběh na 1 mostku
(celé kolo na 1 mostku)

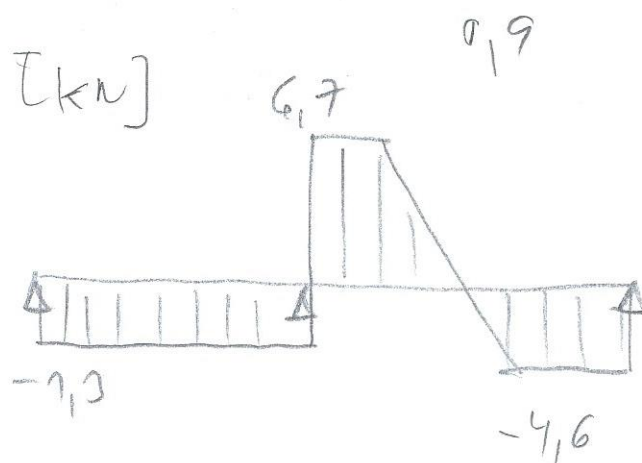


Vnitřní síly

$M_{y,k}$ [kNm]



$V_{z,k}$ [kN]



Posouzení (stálé zat. zanedbáváme)

průřez: 150×60

$$A = 150 \cdot 60 = 9000 \text{ mm}^2$$

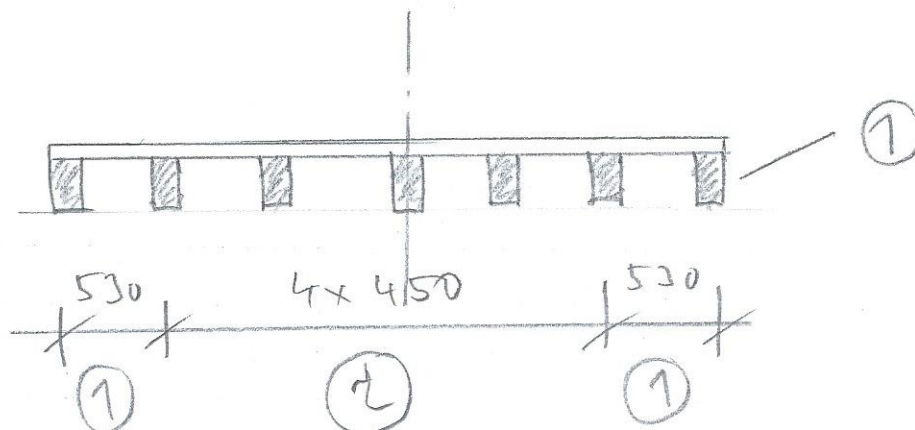
$$W_y = \frac{1}{6} \cdot 150 \cdot 60^2 = 90000 \text{ mm}^3$$

Ohyb: $\sigma_{m,d} = \frac{M_d}{W_y} = \frac{1,4 \cdot 0,9 \cdot 10^6}{90000} = 14 \text{ MPa} < 16,15 \text{ MPa}$

sníh: $k_{ef} = 0,67$

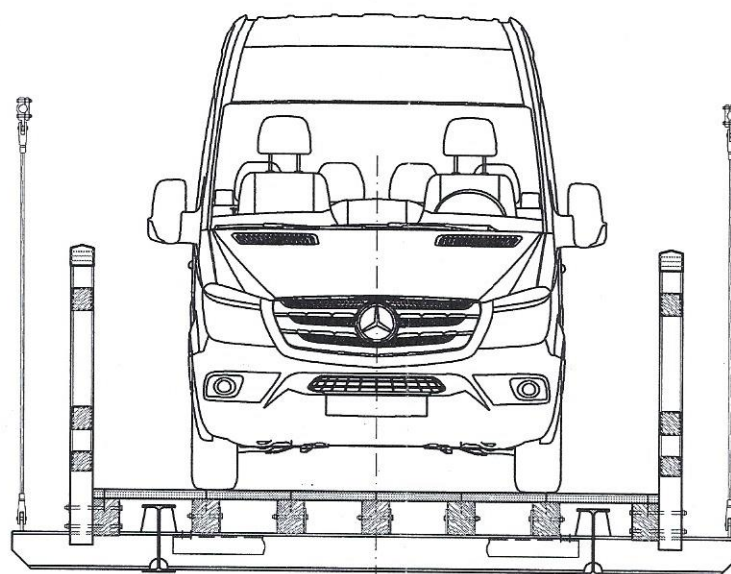
$$\tau_{vd} = \frac{3 V_d}{2 A_{ef}} = \frac{3 \cdot 6,7 \cdot 1000}{2 \cdot 9000 \cdot 0,67} = 1,67 \text{ MPa} \\ = 1,62 \text{ MPa}$$

Posouzení podélníku



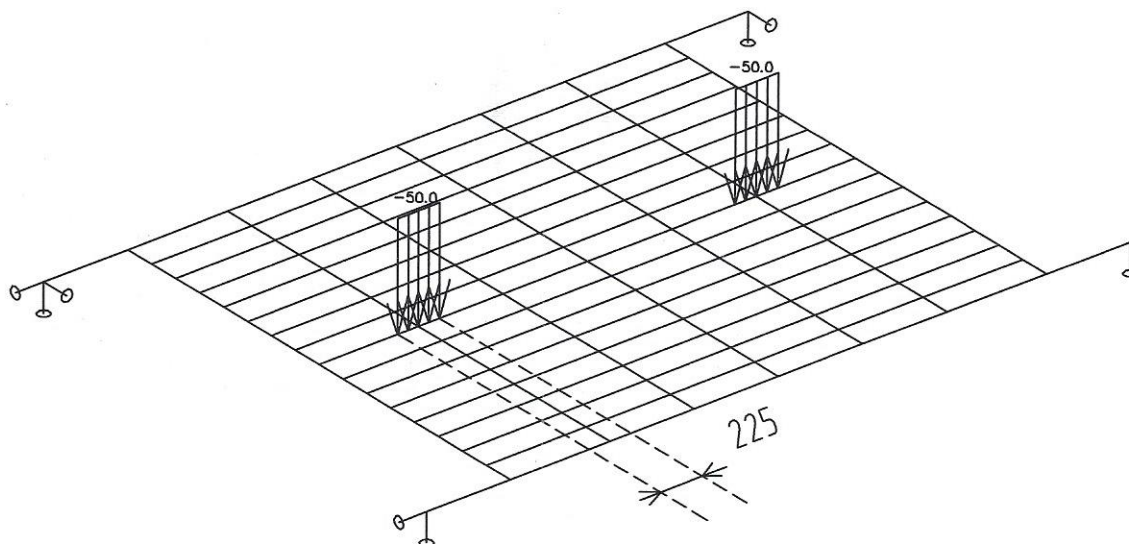
- ① hravol 140 x 200
 ② —a— 140 x 180
- } C24, modřín

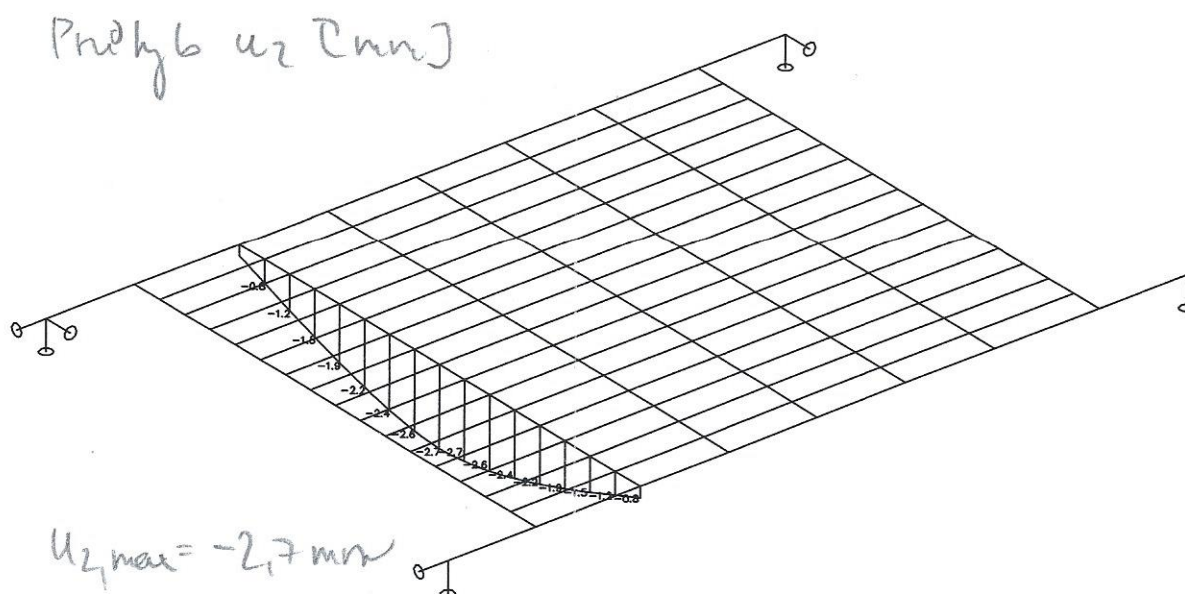
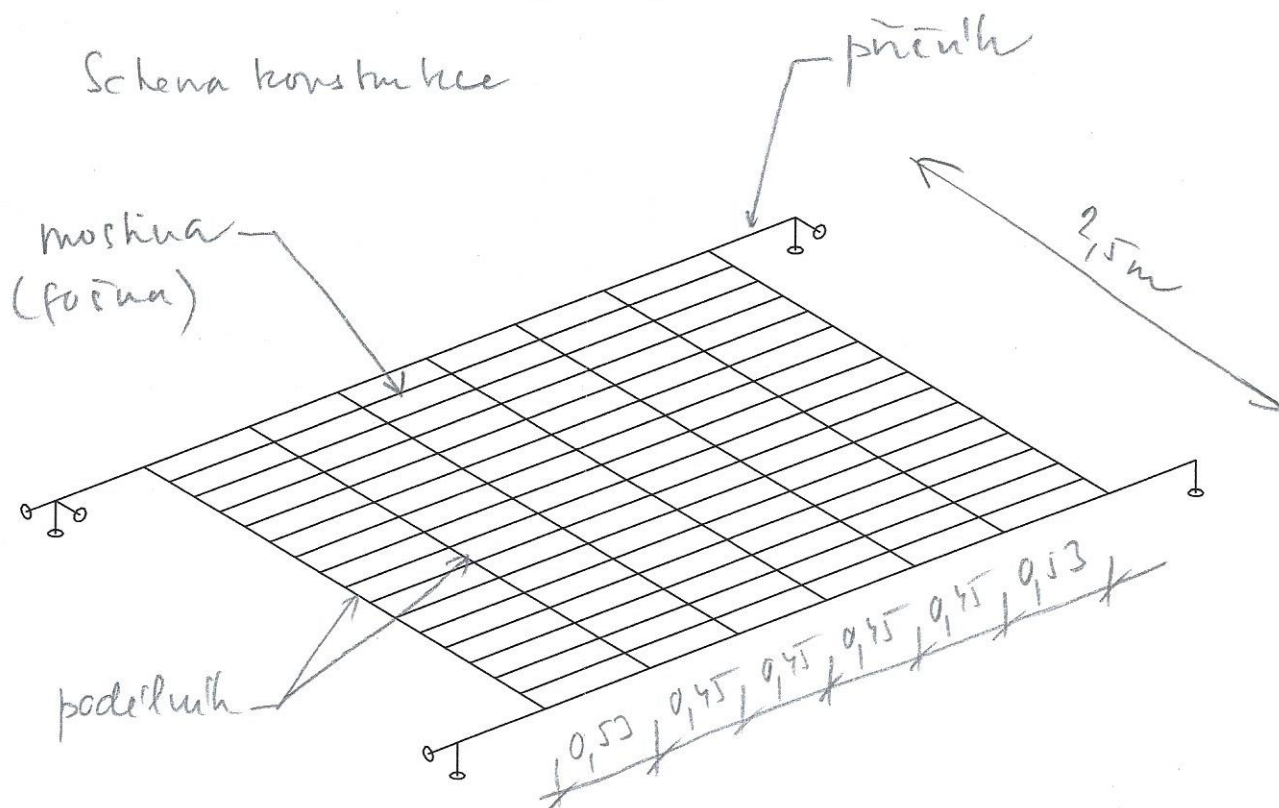
Zatížení – to z budovy servisního vozidla
(3,5 t)





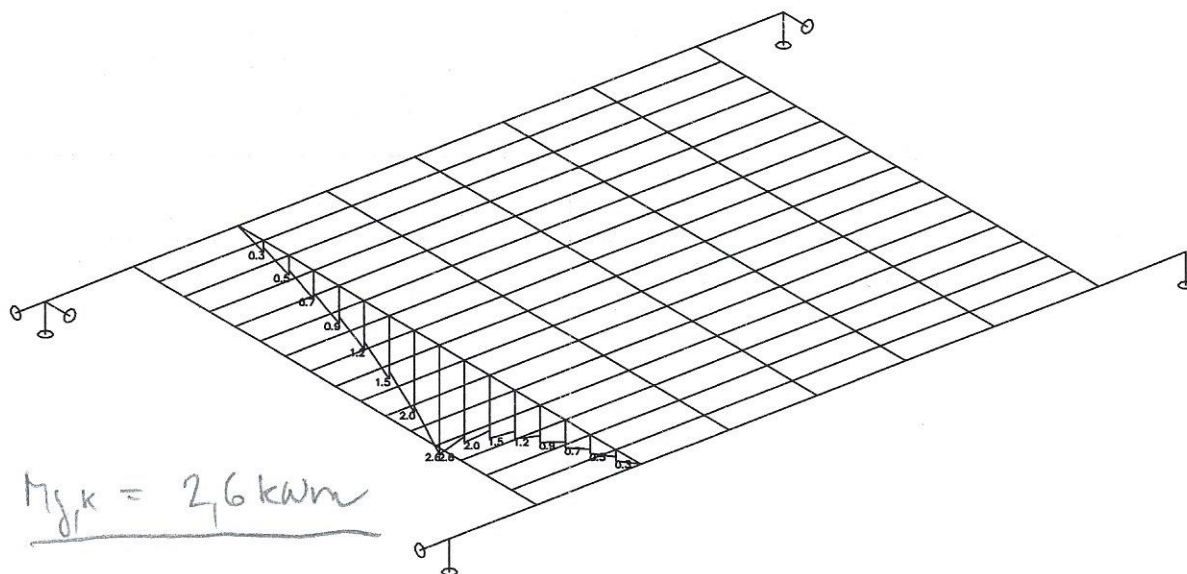
Zatížení od radní na pravý [kN/m']



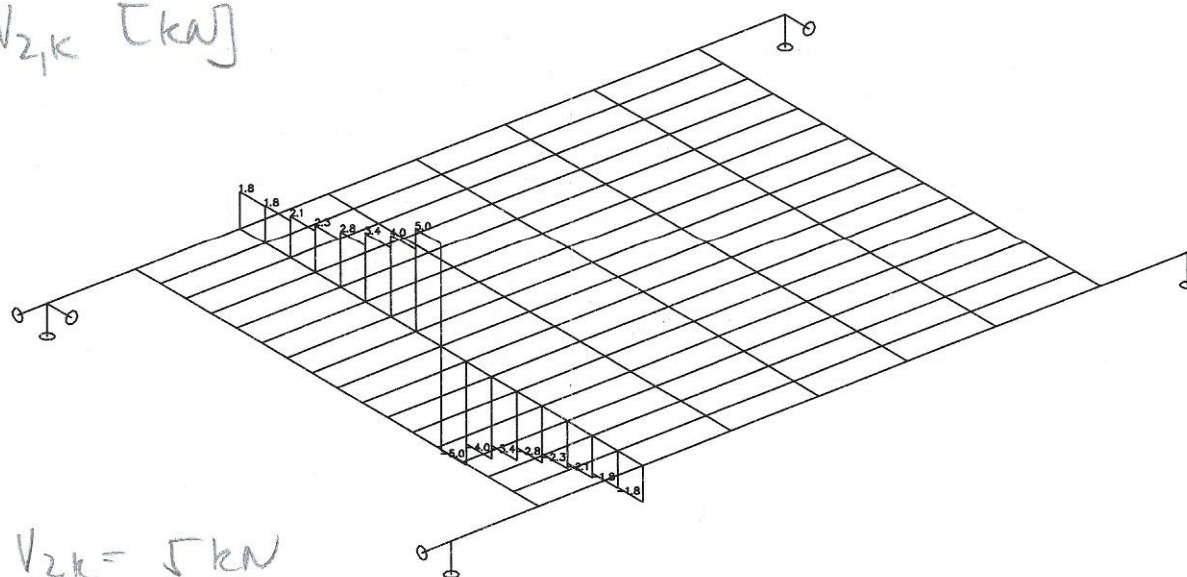




$M_{y,k} \text{ [kNm]}$



$V_{z,k} \text{ [kN]}$





Posouzení podélníku

stačí zat. zanedbatelnou

$$M_{y,d} = 2,6 \cdot 1,4 = \underline{3,64 \text{ kNm}}$$

$$\sigma_{m,d} = \frac{M_{y,d}}{W_y} = \frac{3,64 \cdot 10^6}{756\,000} = \underline{4,8 \text{ MPa}} \\ < \underline{12,9 \text{ MPa}}$$

s_{yk}

$$k_{ef} = 0,67$$

$$V_{2,d} = 5 \cdot 1,4 = 7,0 \text{ kN}$$

$$\tau_{v,d} = \frac{3 \cdot V_{2,d}}{2 \cdot A_{ef}} = \frac{3 \cdot 7 \cdot 1000}{2 \cdot 25200 \cdot 0,67} = \underline{0,02 \text{ MPa}} \\ < \underline{1,62 \text{ MPa}}$$

Podélník vyhovuje.